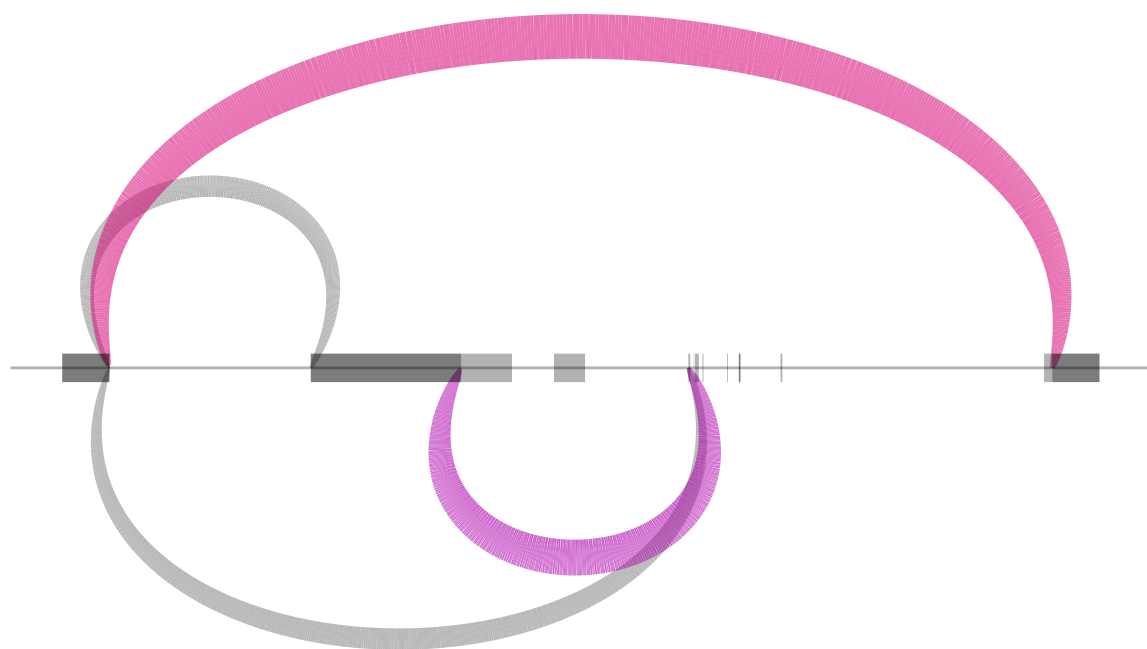


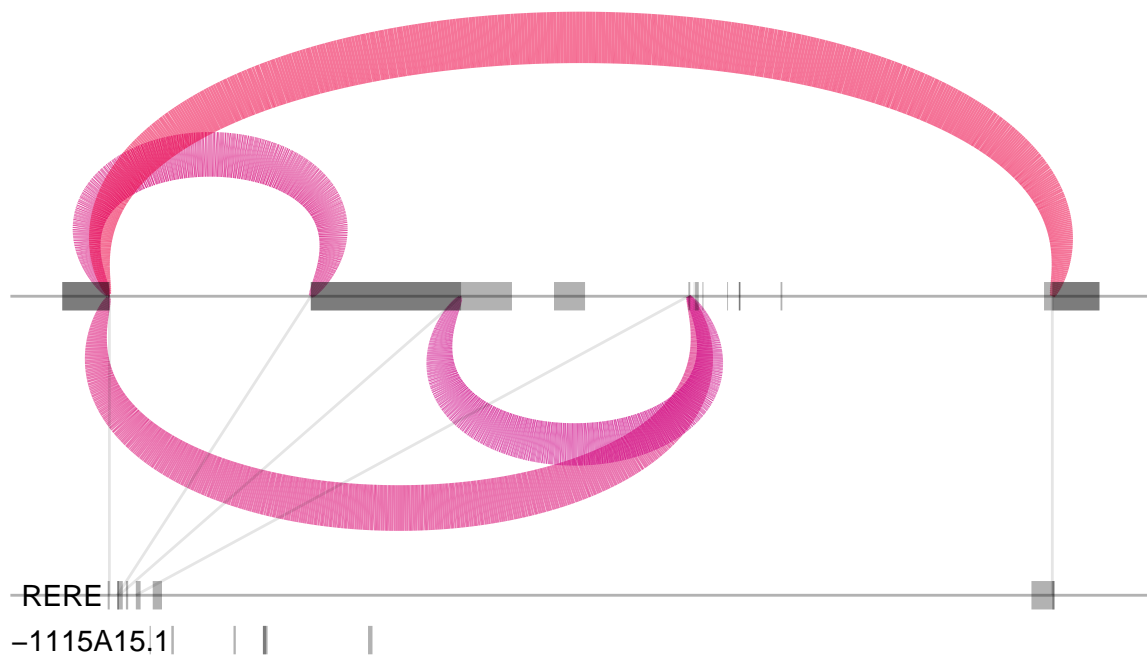
CEU (n=20)



Mean count



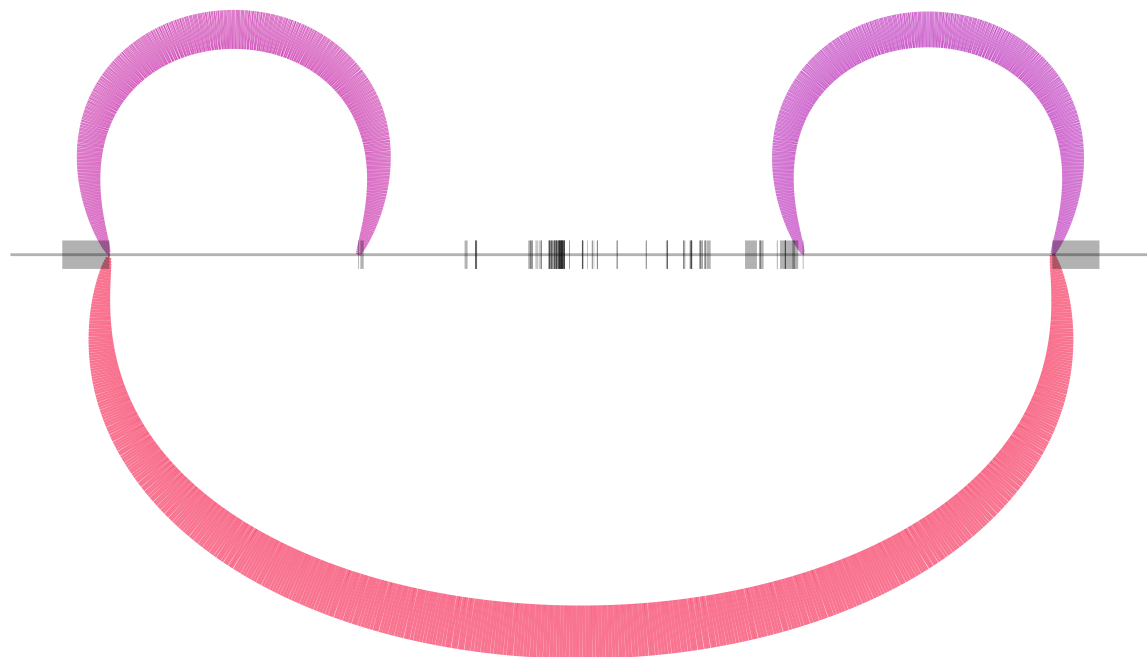
YRI (n=20)



Mean count



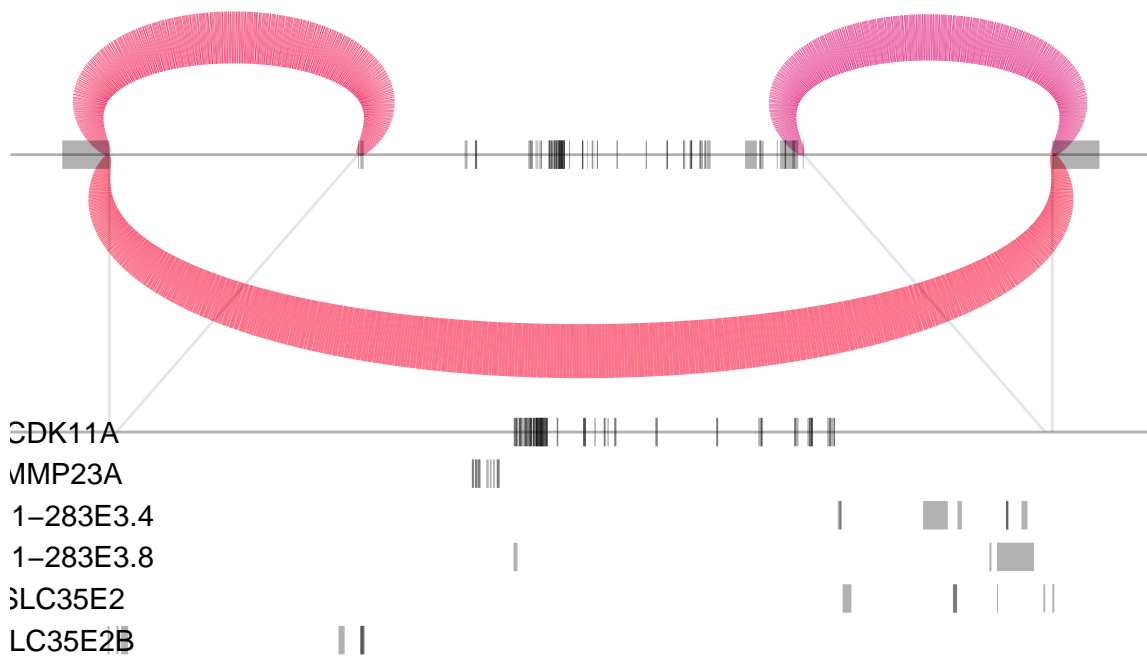
CEU (n=20)



Mean count



YRI (n=20)

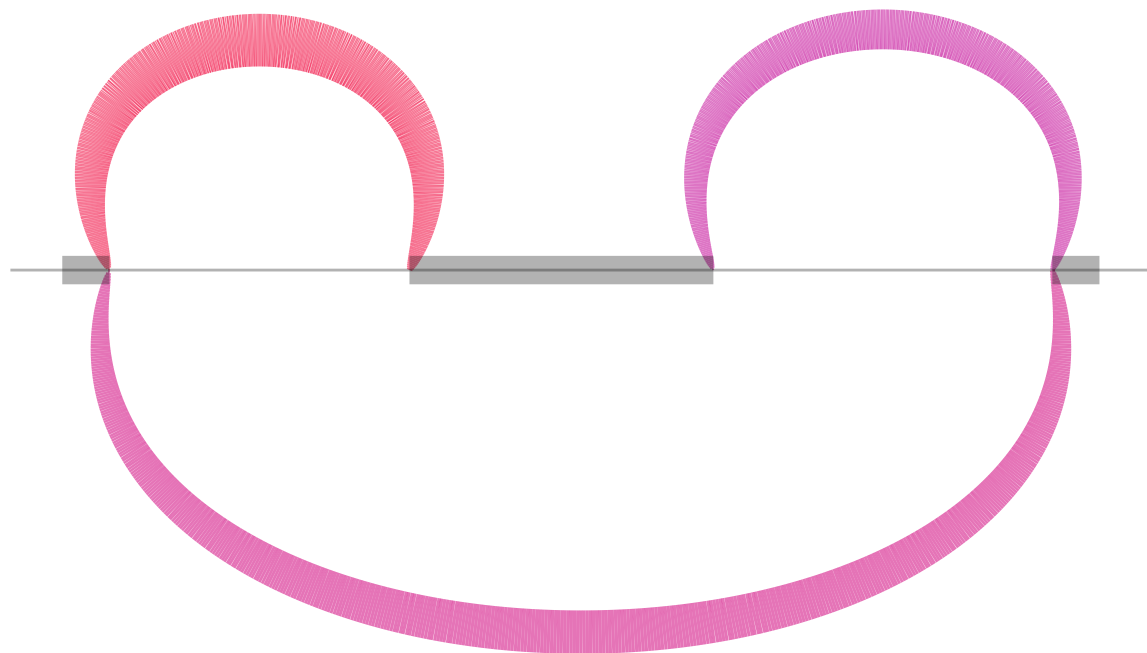


Mean count



CDK11A
MMP23A
1-283E3.4
1-283E3.8
SLC35E2
LC35E2B

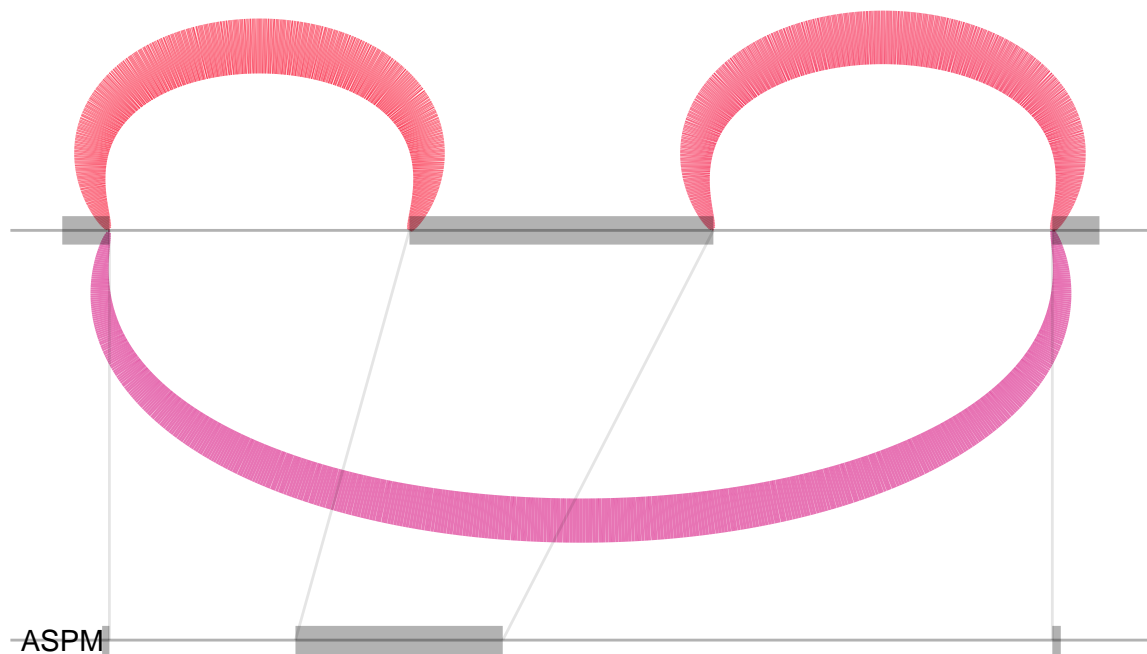
CEU (n=20)



Mean count



YRI (n=20)



Mean count



ASPM

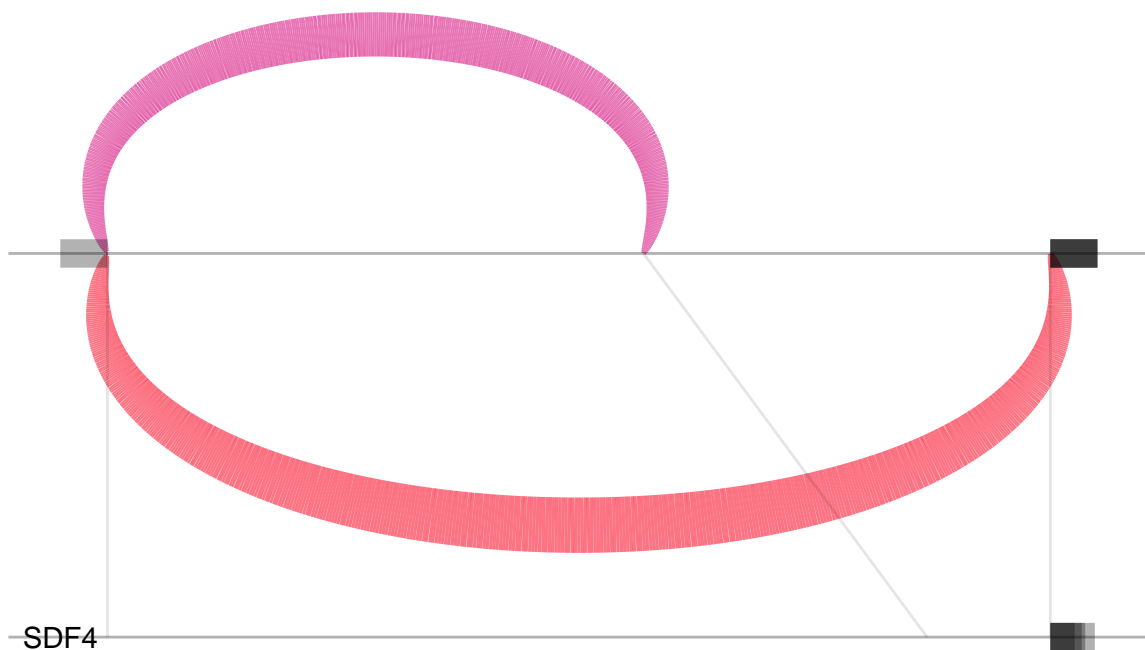
CEU (n=20)



Mean count



YRI (n=20)

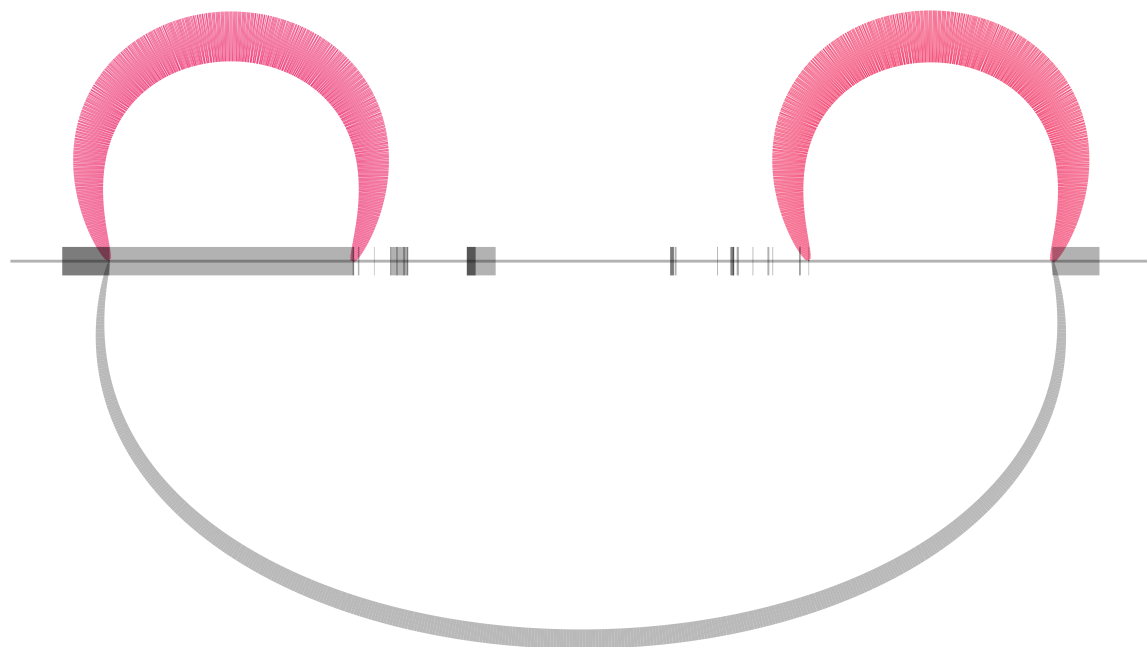


Mean count



SDF4

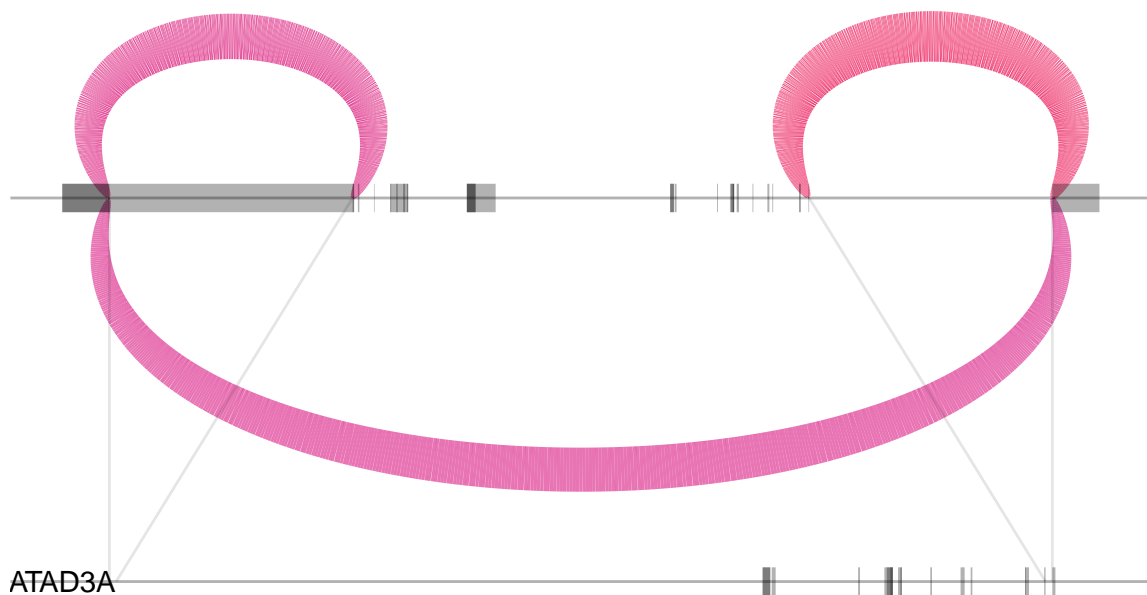
CEU (n=20)



Mean count



YRI (n=20)



Mean count

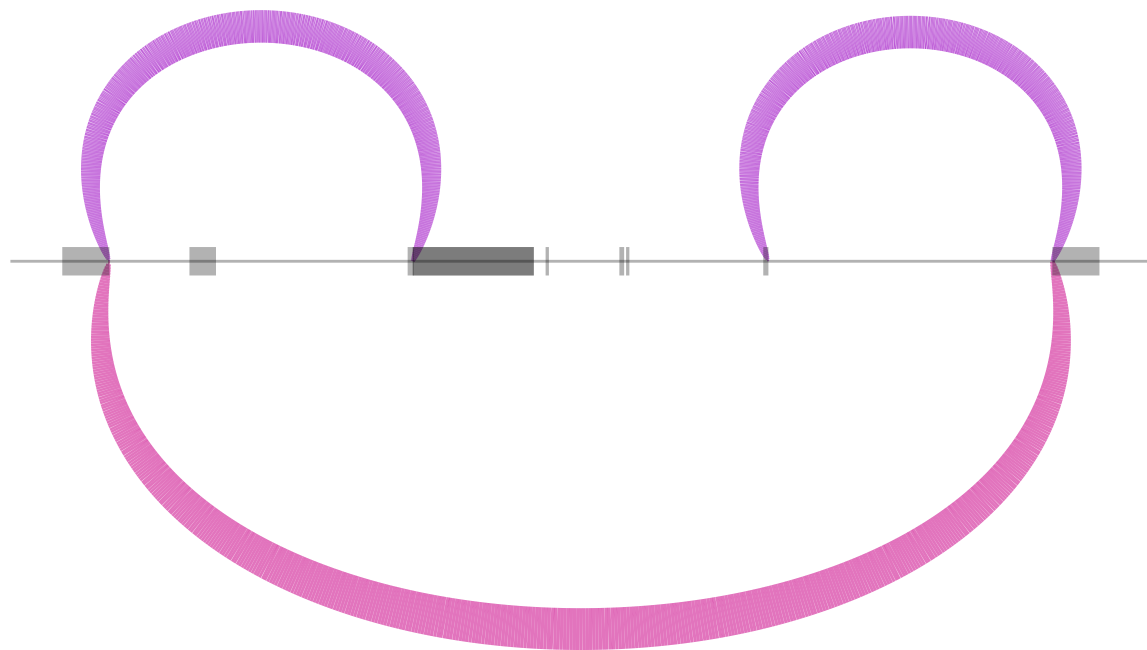


ATAD3A

ATAD3B



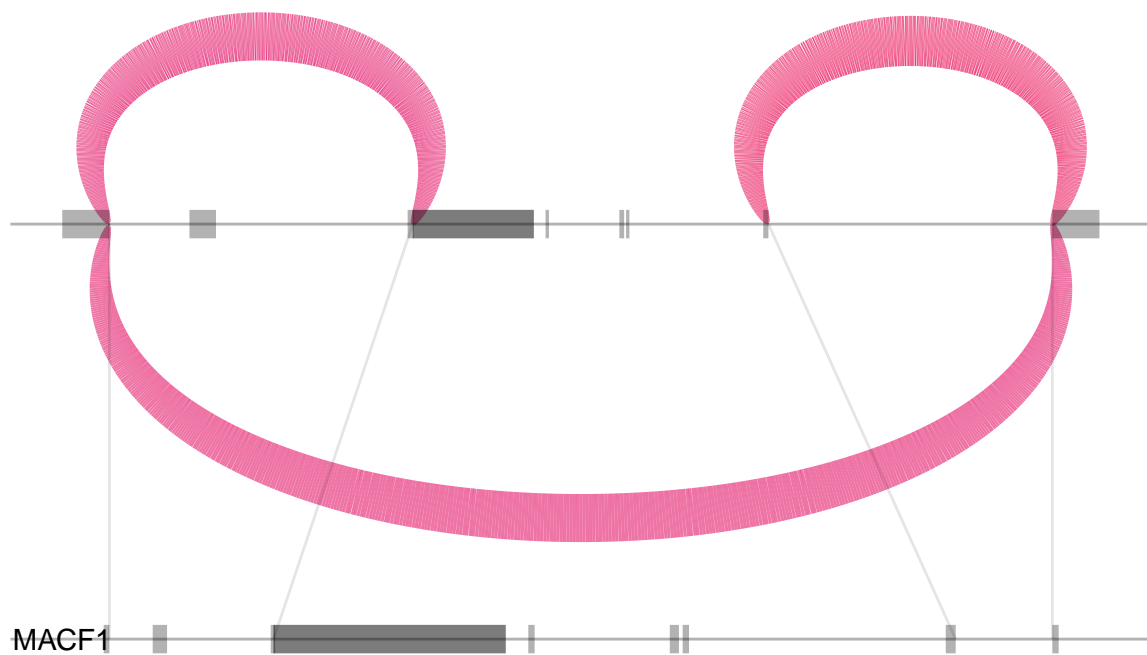
CEU (n=20)



Mean count



YRI (n=20)

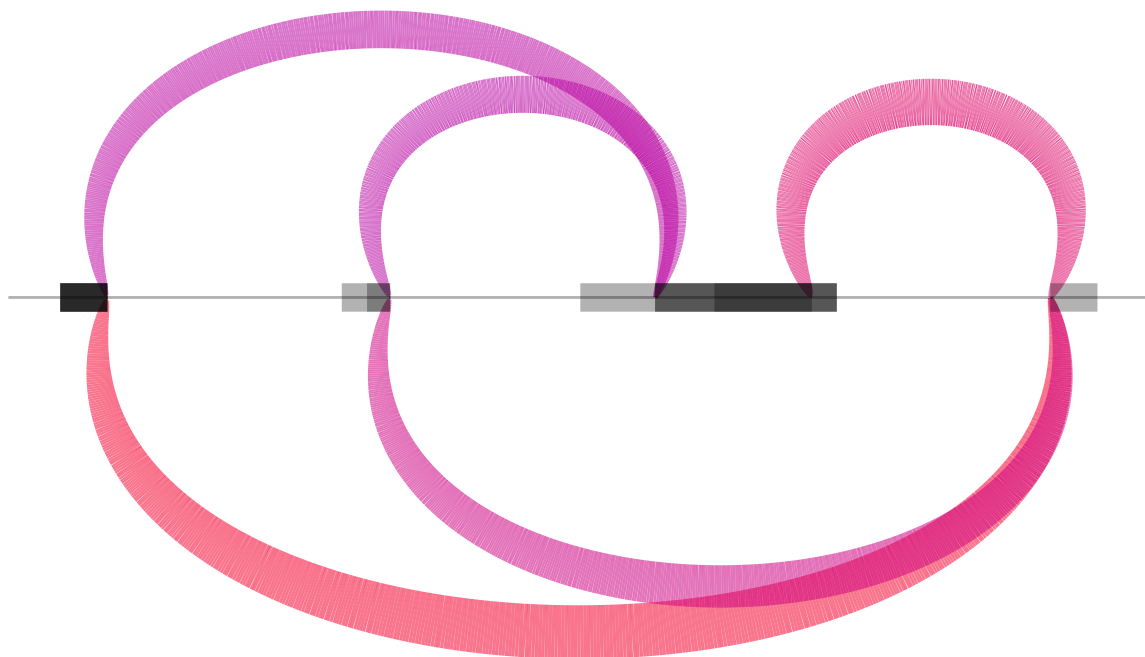


Mean count



MACF1

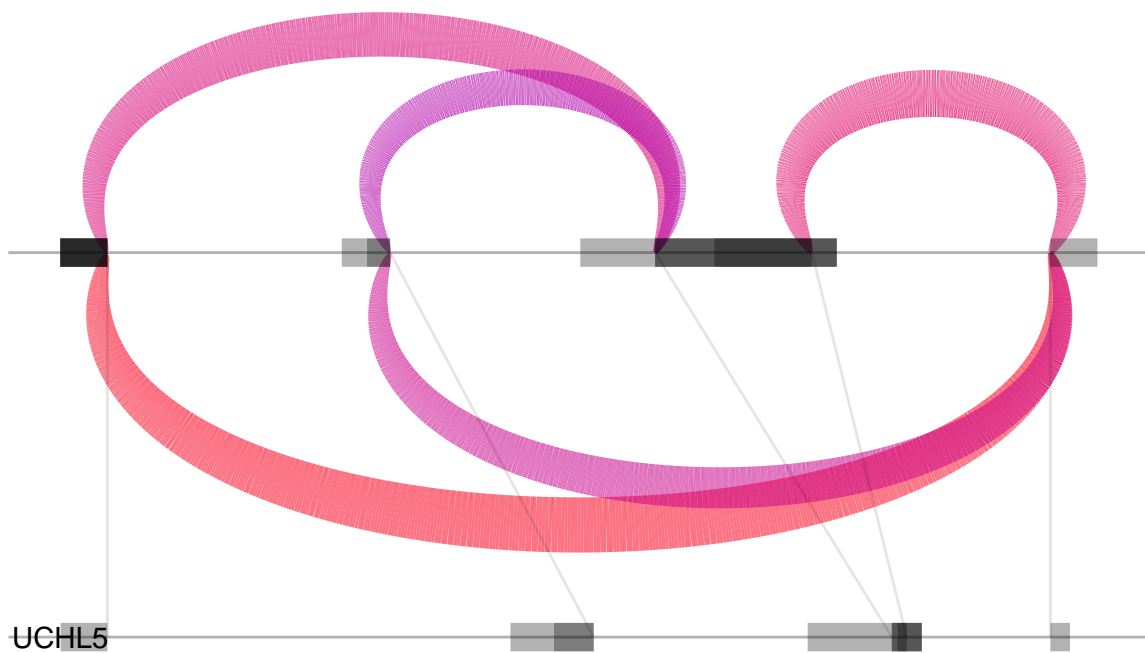
CEU (n=20)



Mean count



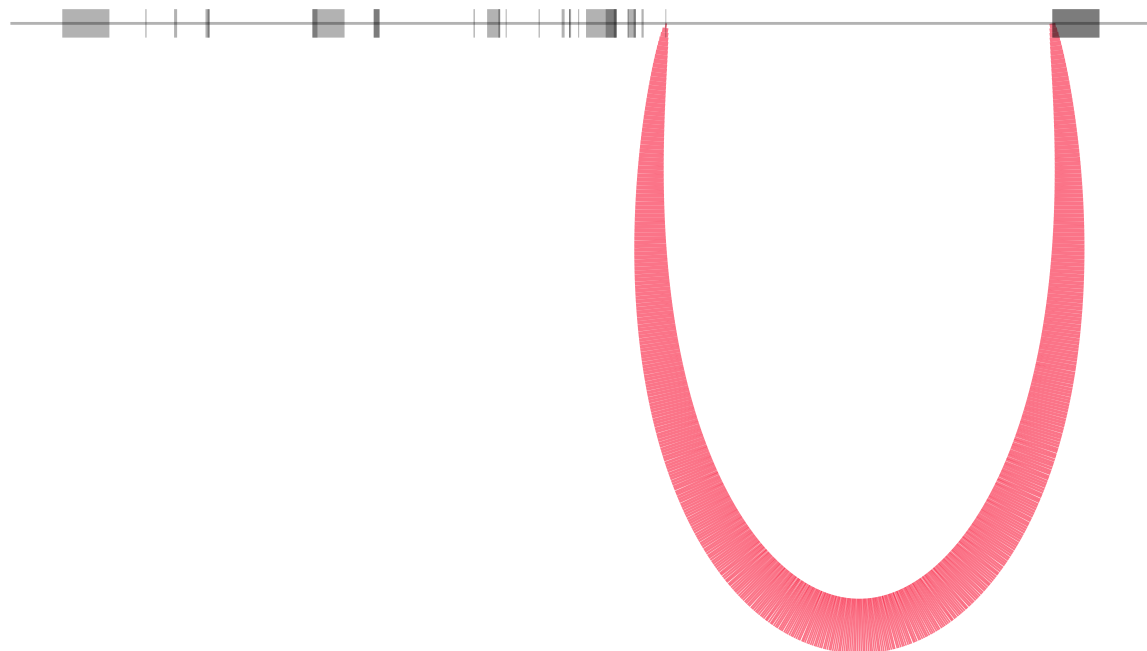
YRI (n=20)



Mean count



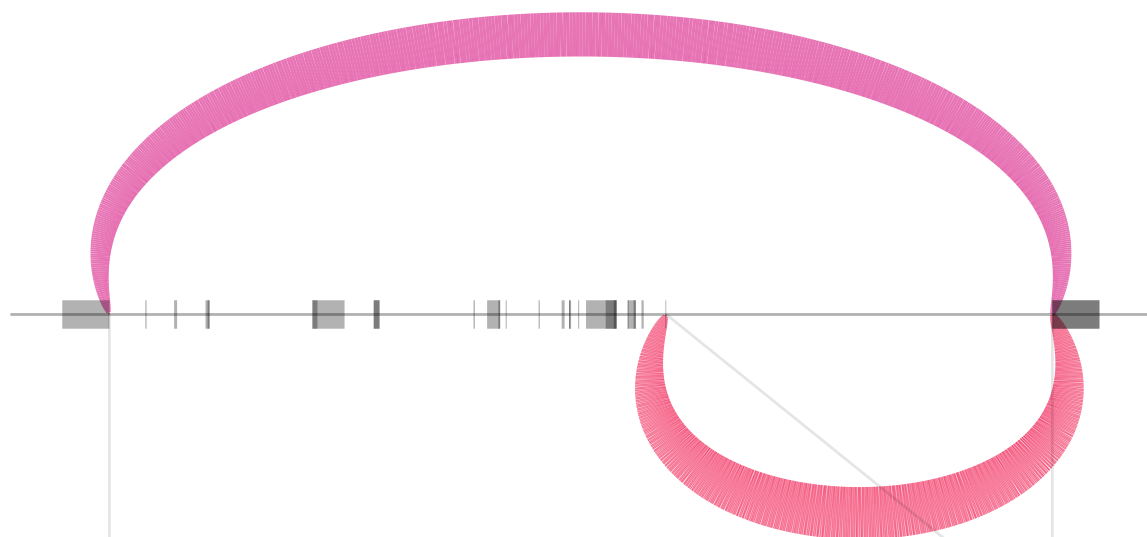
CEU (n=20)



Mean count



YRI (n=20)



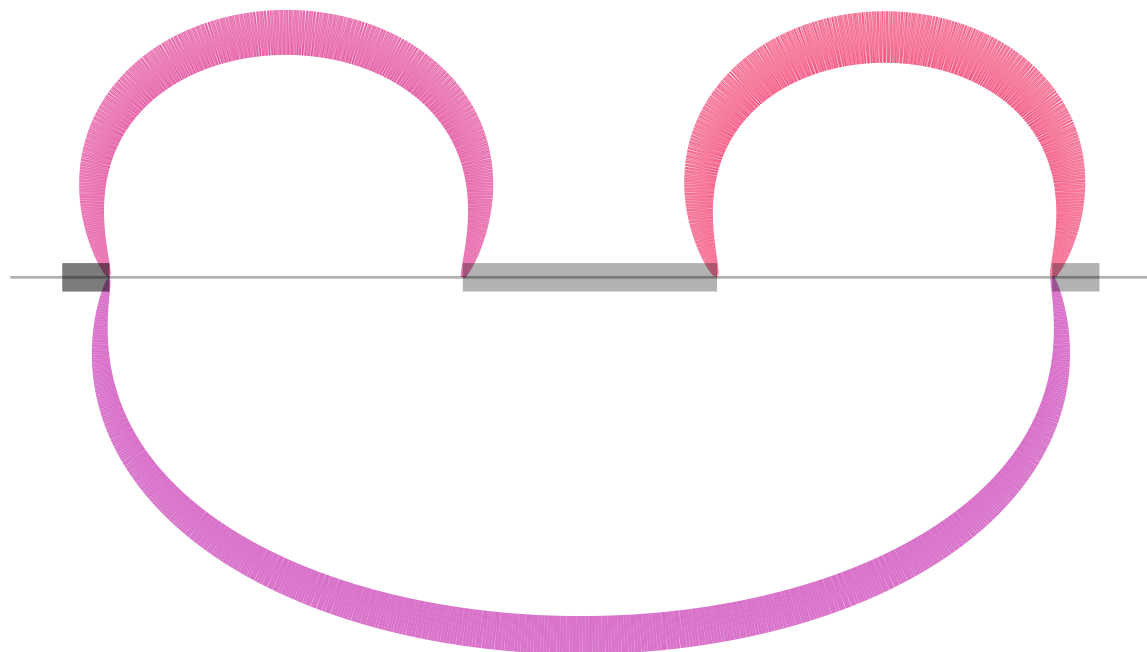
Mean count



ATAD3B
ATAD3C



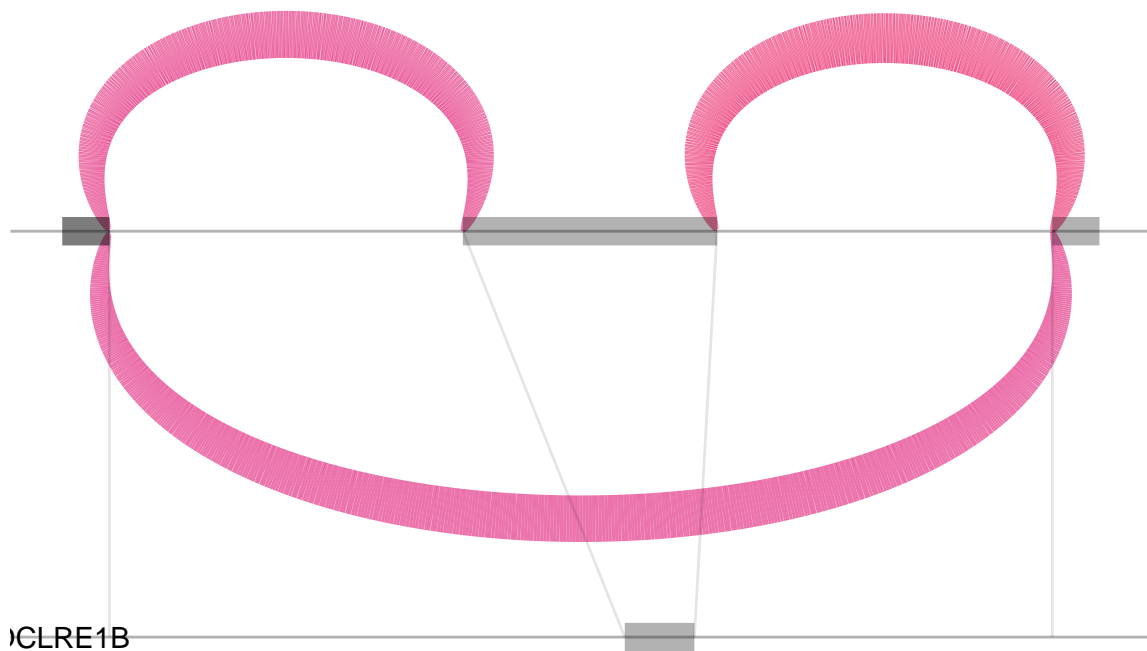
CEU (n=20)



Mean count



YRI (n=20)

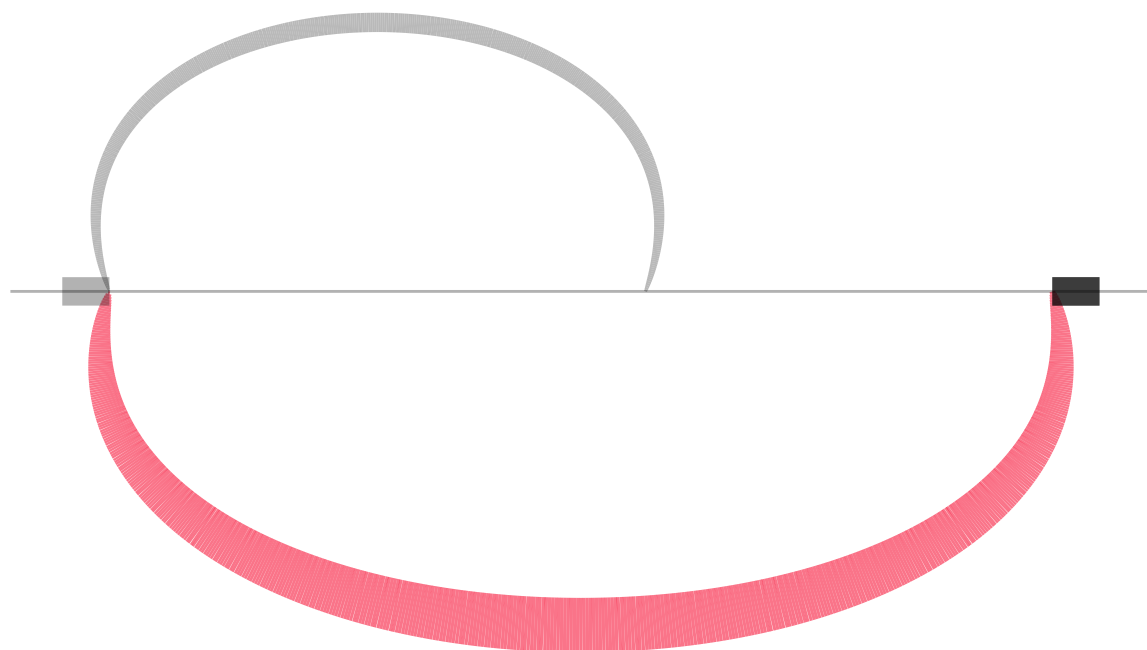


Mean count



ICLRE1B

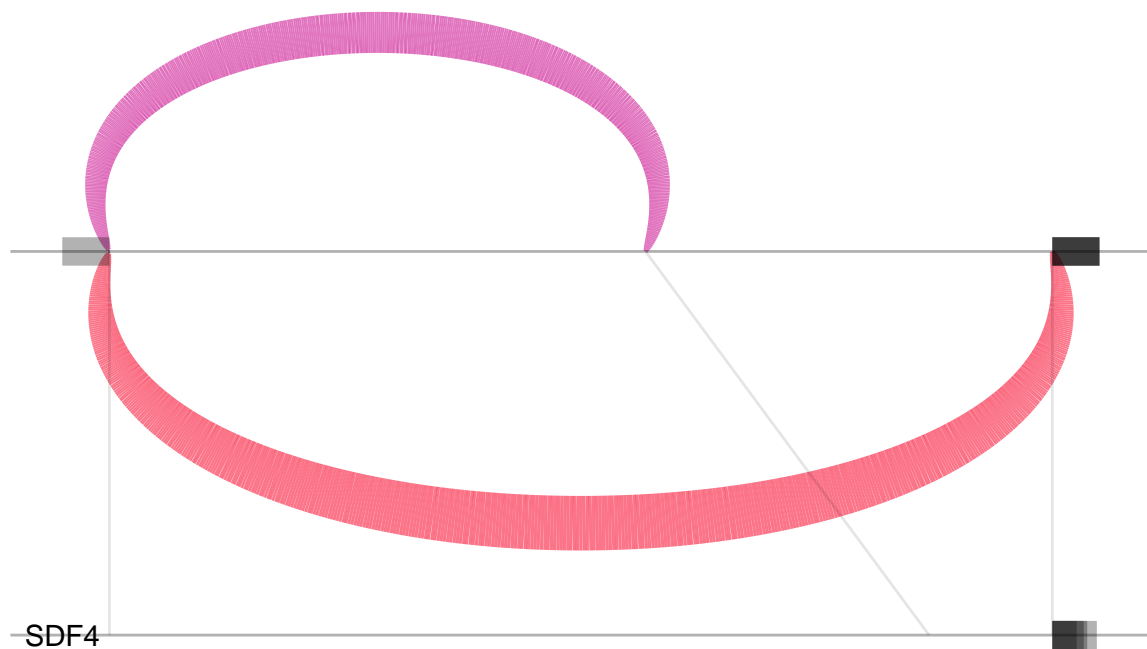
CEU (n=20)



Mean count



YRI (n=20)

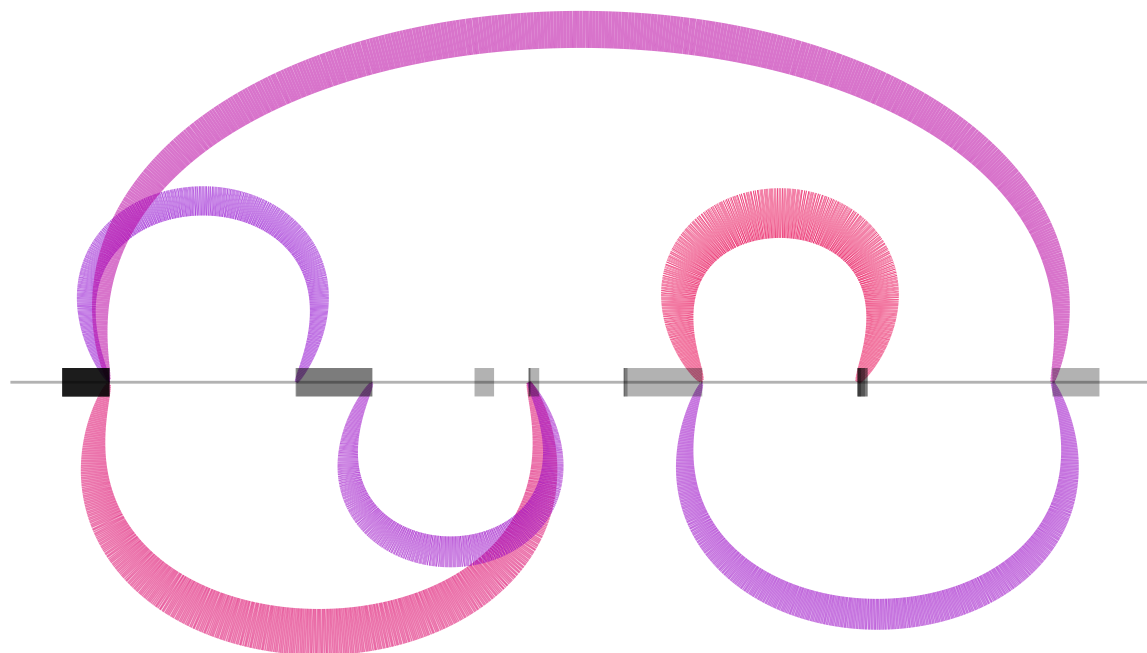


Mean count



SDF4

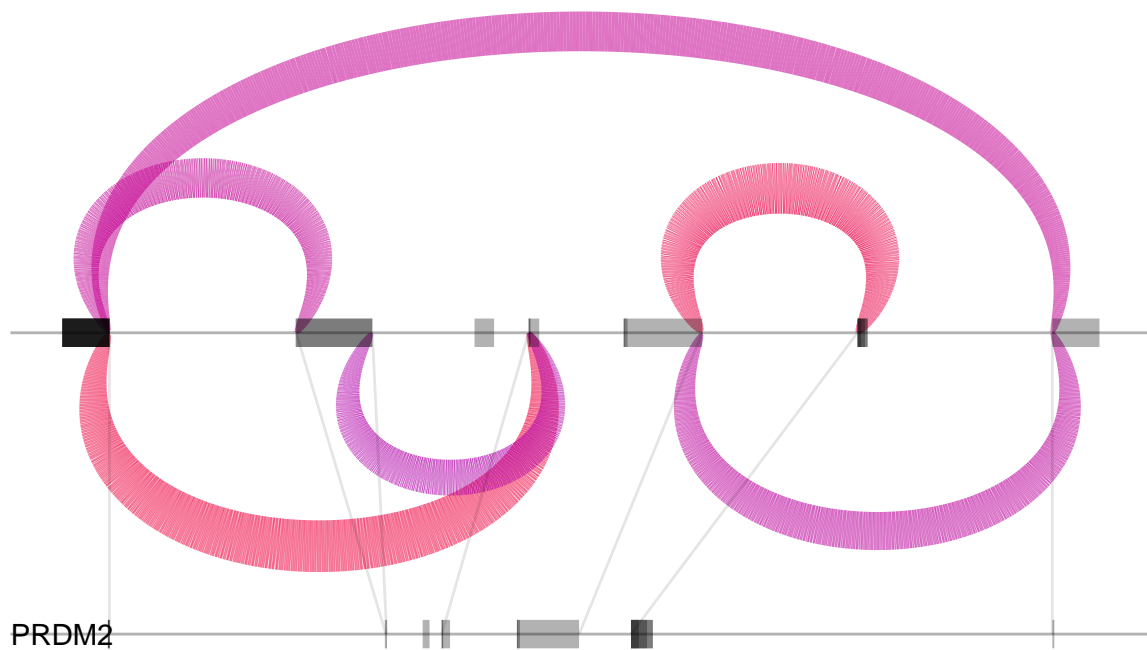
CEU (n=20)



Mean count



YRI (n=20)

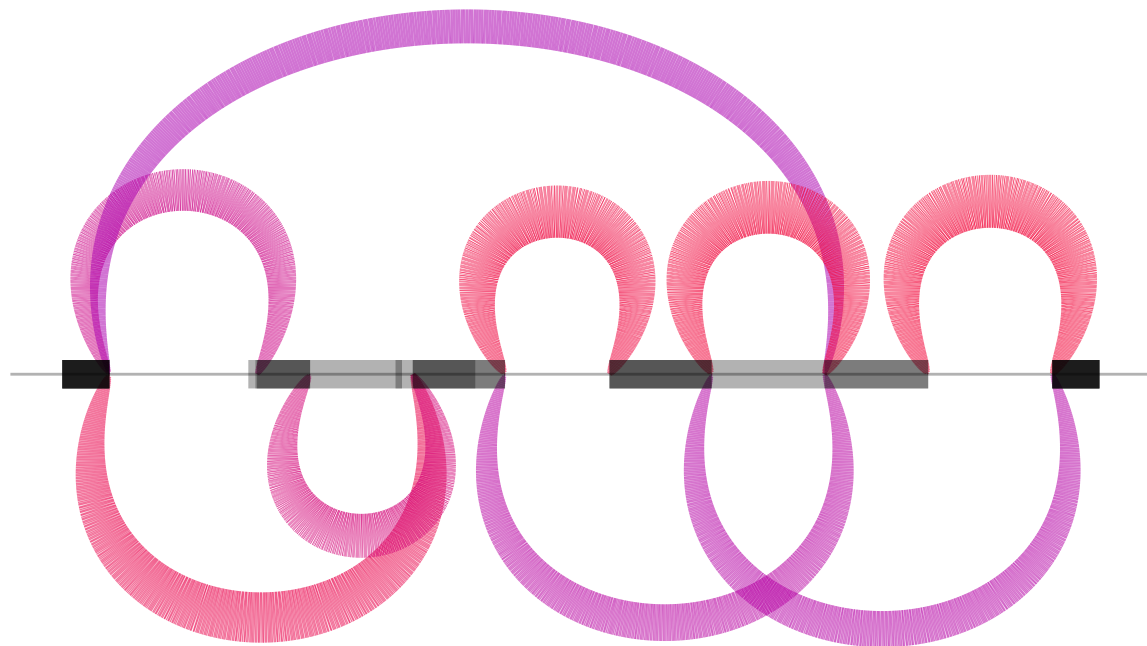


Mean count



PRDM2

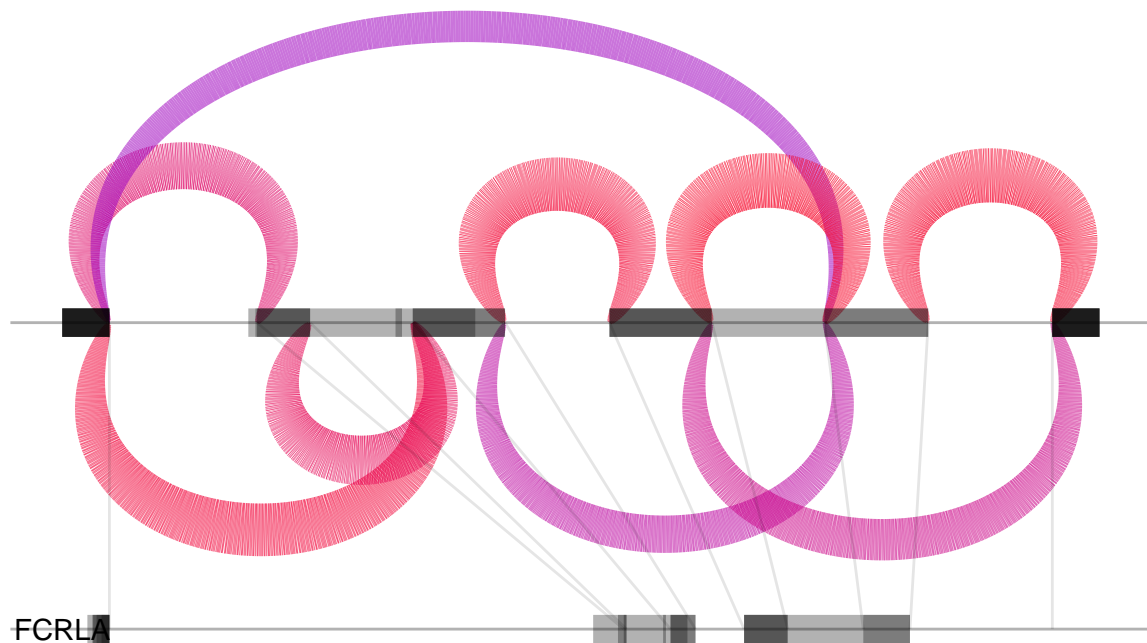
CEU (n=20)



Mean count



YRI (n=20)

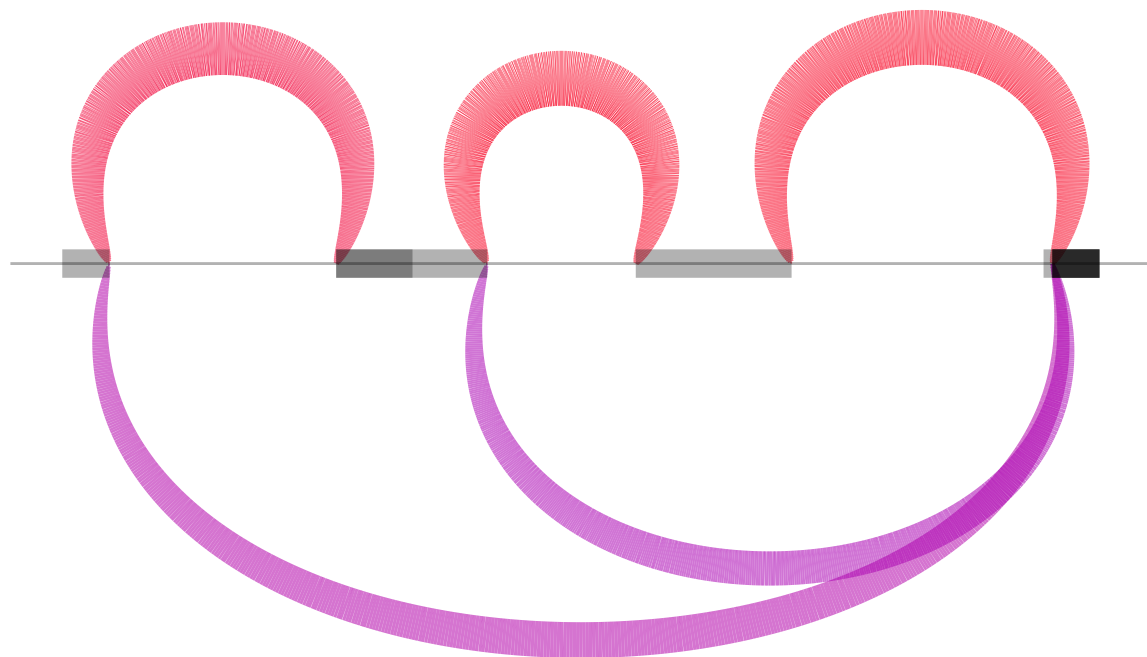


Mean count



FCRLA

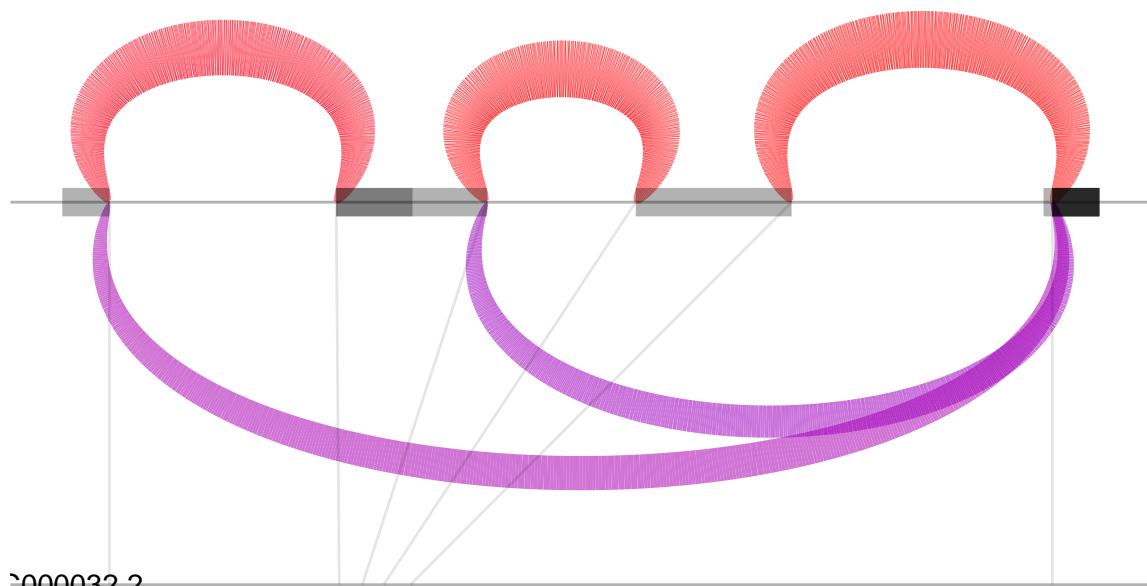
CEU (n=20)



Mean count



YRI (n=20)



Mean count

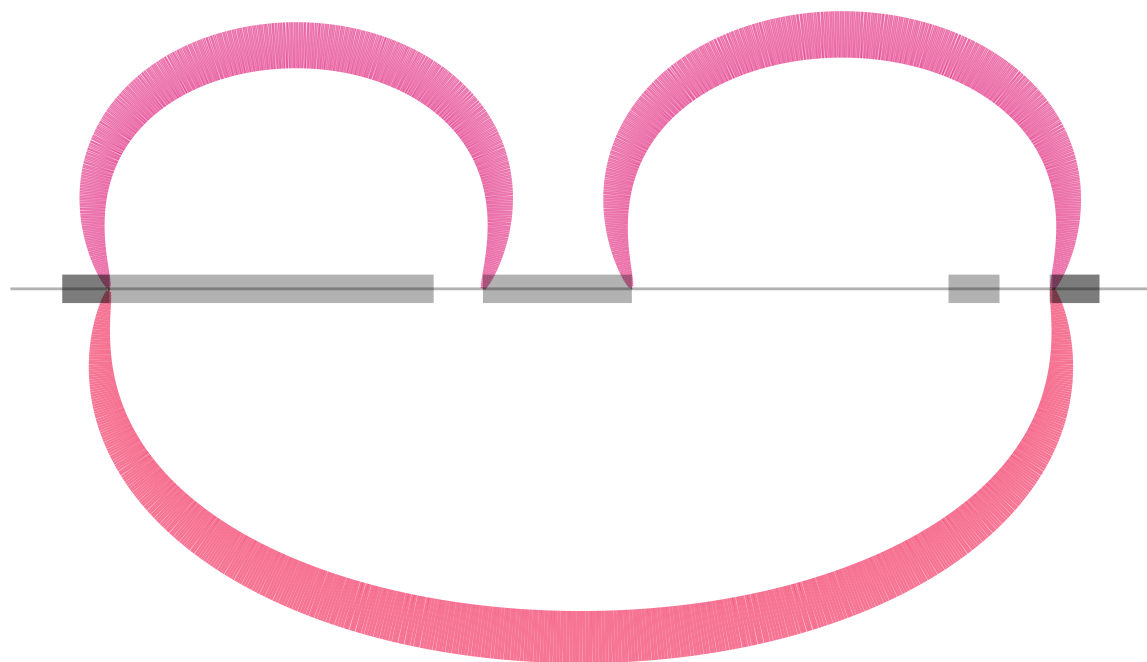


3000032.2

GSTM1



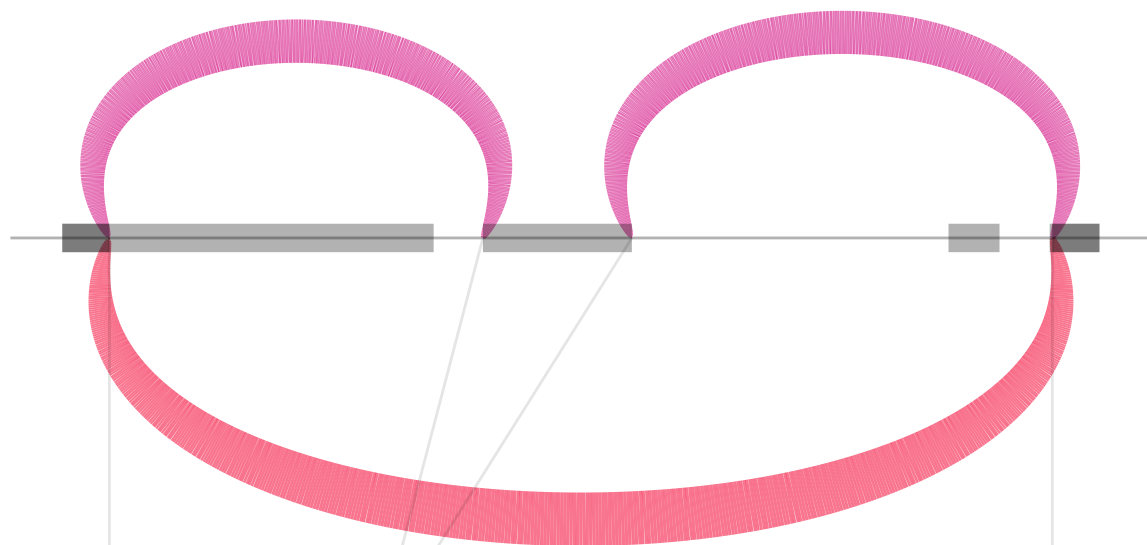
CEU (n=20)



Mean count



YRI (n=20)



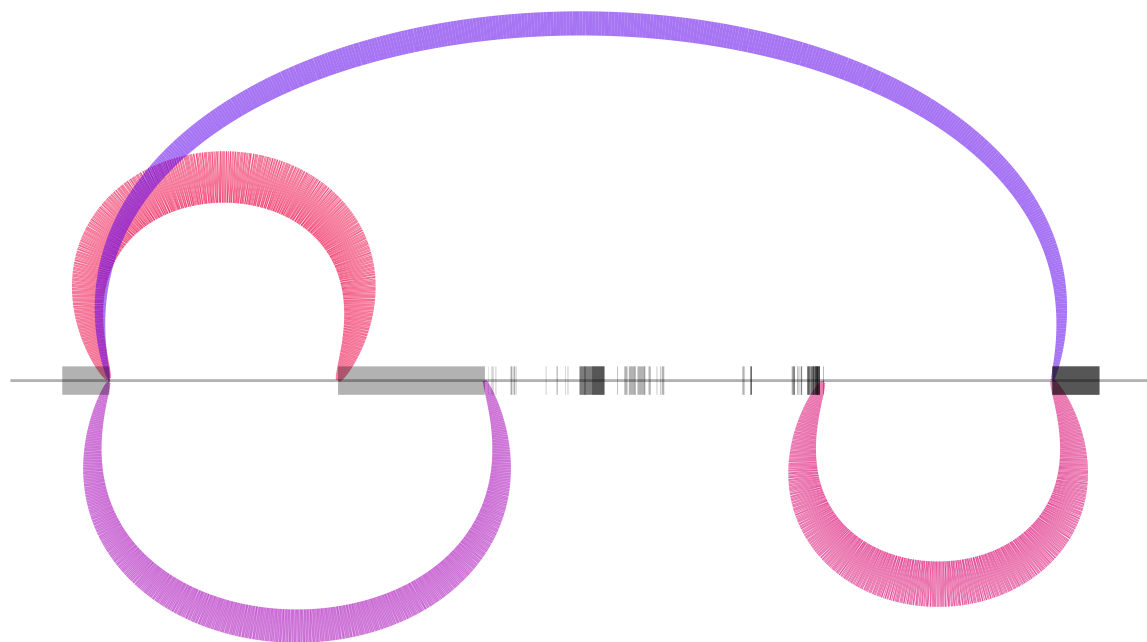
Mean count



MACF1



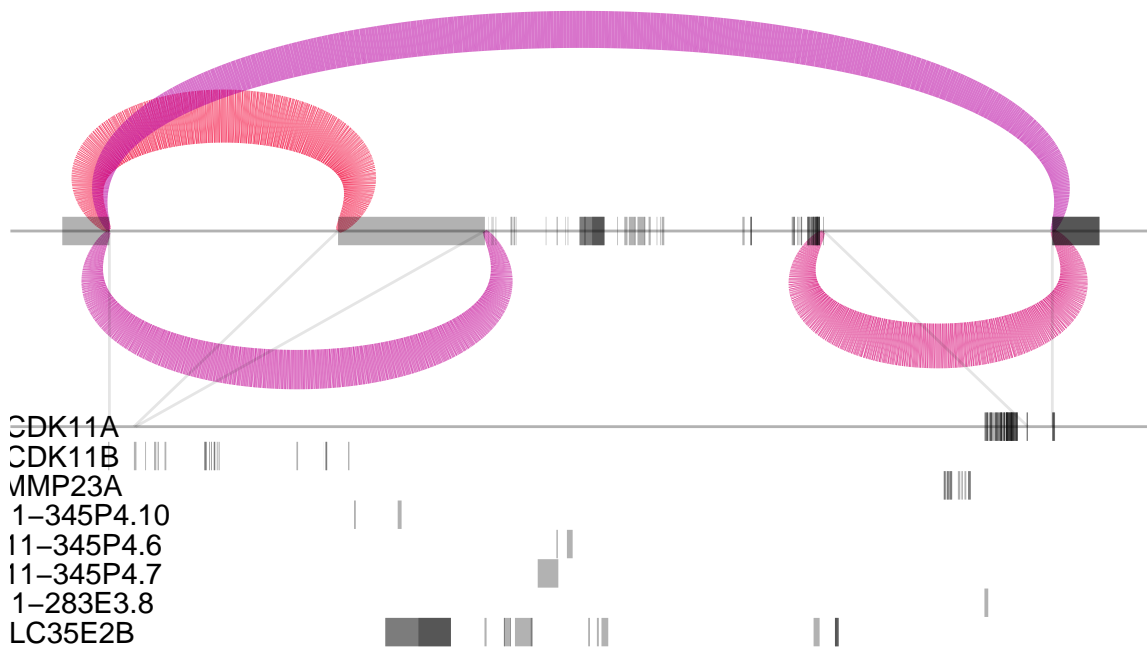
CEU (n=20)



Mean count



YRI (n=20)

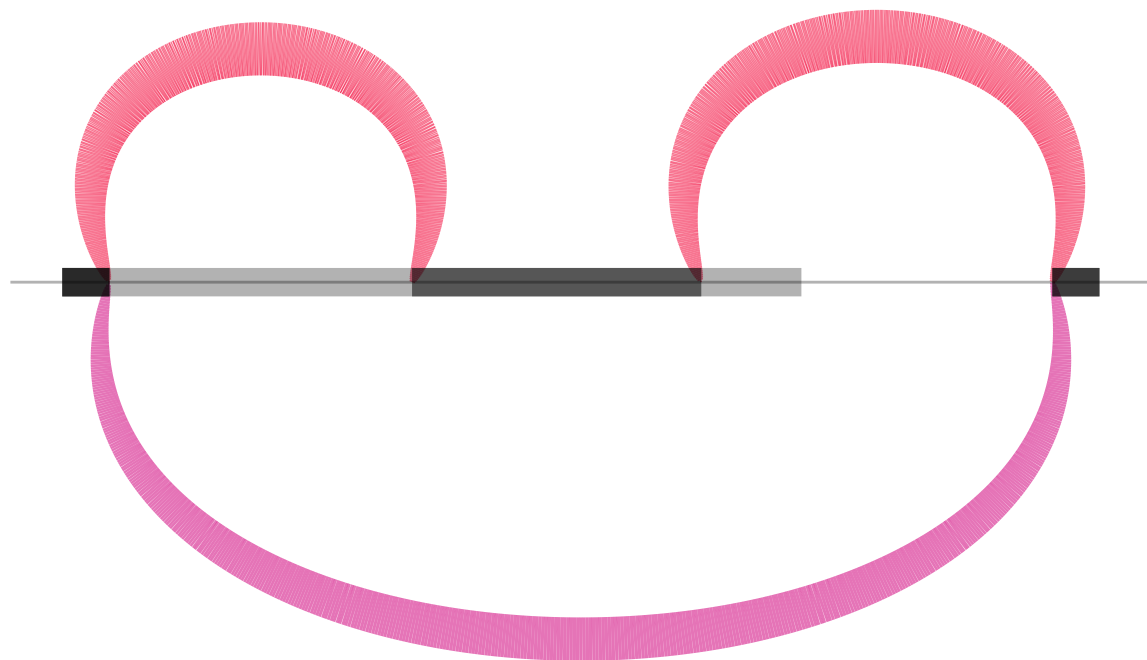


Mean count



CDK11A
CDK11B
VMP23A
1-345P4.10
11-345P4.6
11-345P4.7
1-283E3.8
LC35E2B

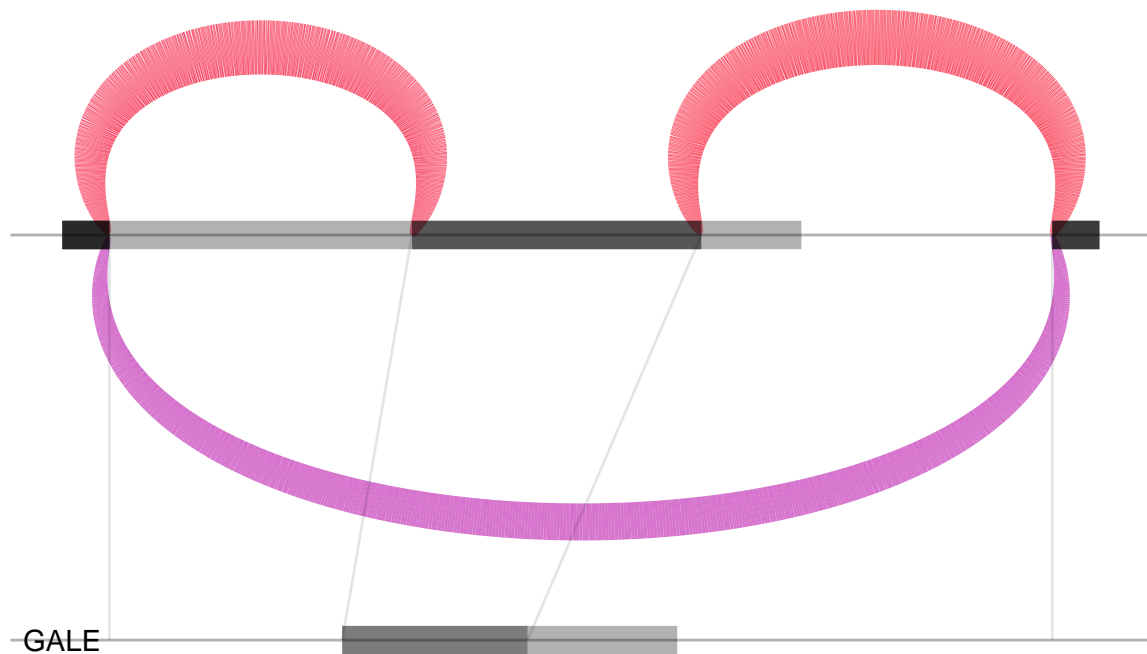
CEU (n=20)



Mean count



YRI (n=20)



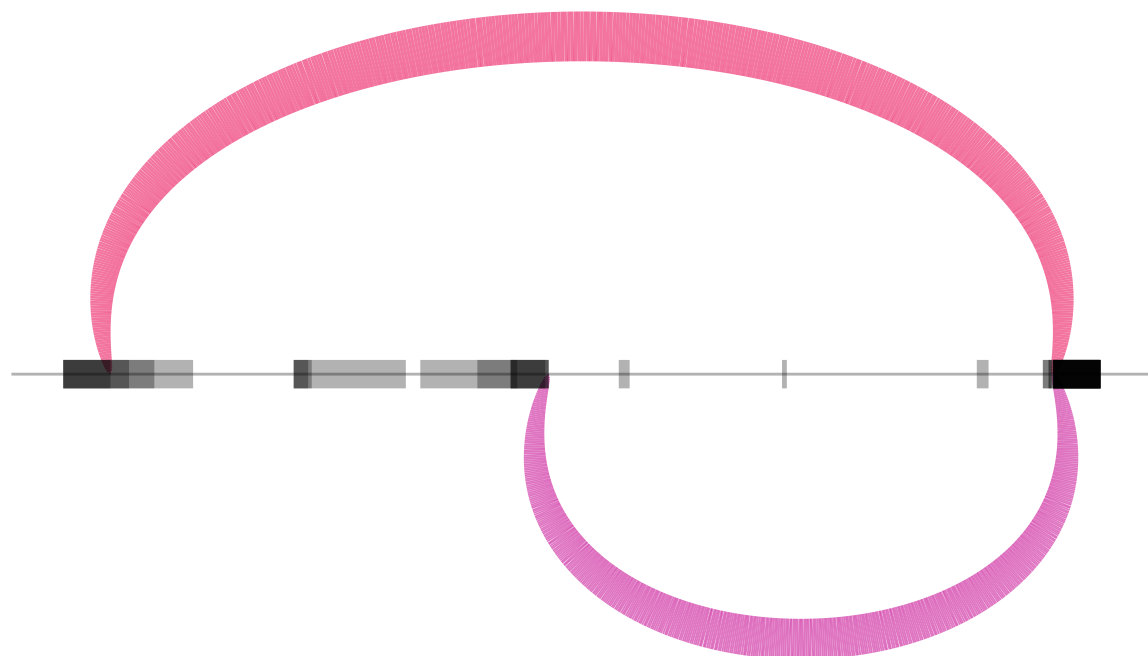
Mean count



GALE



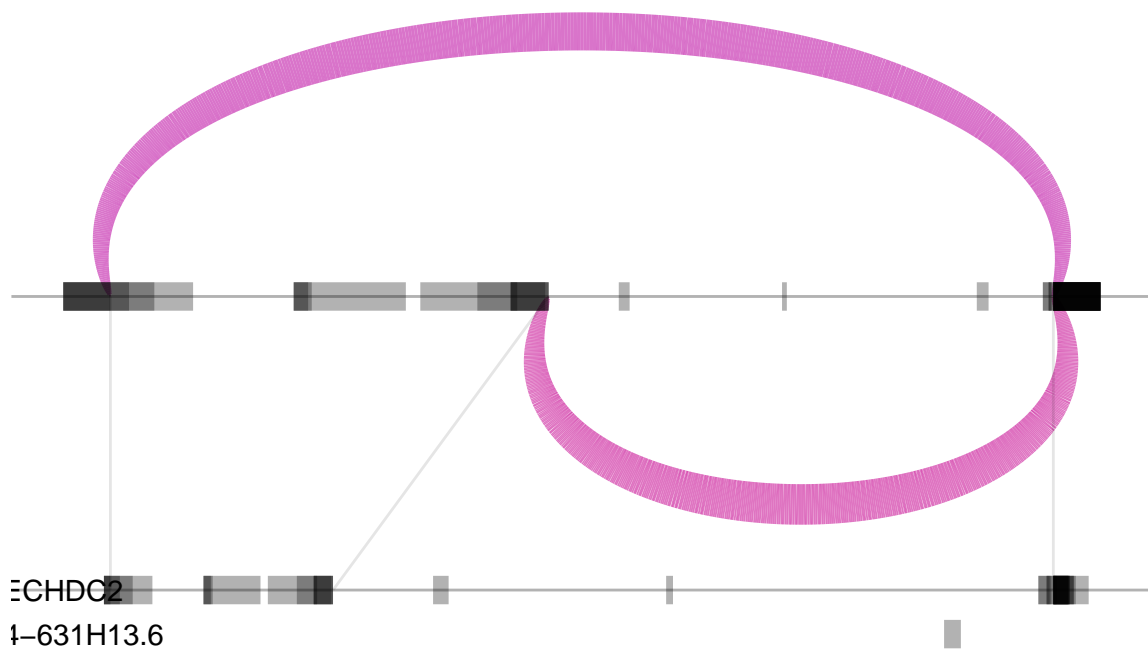
CEU (n=20)



Mean count



YRI (n=20)

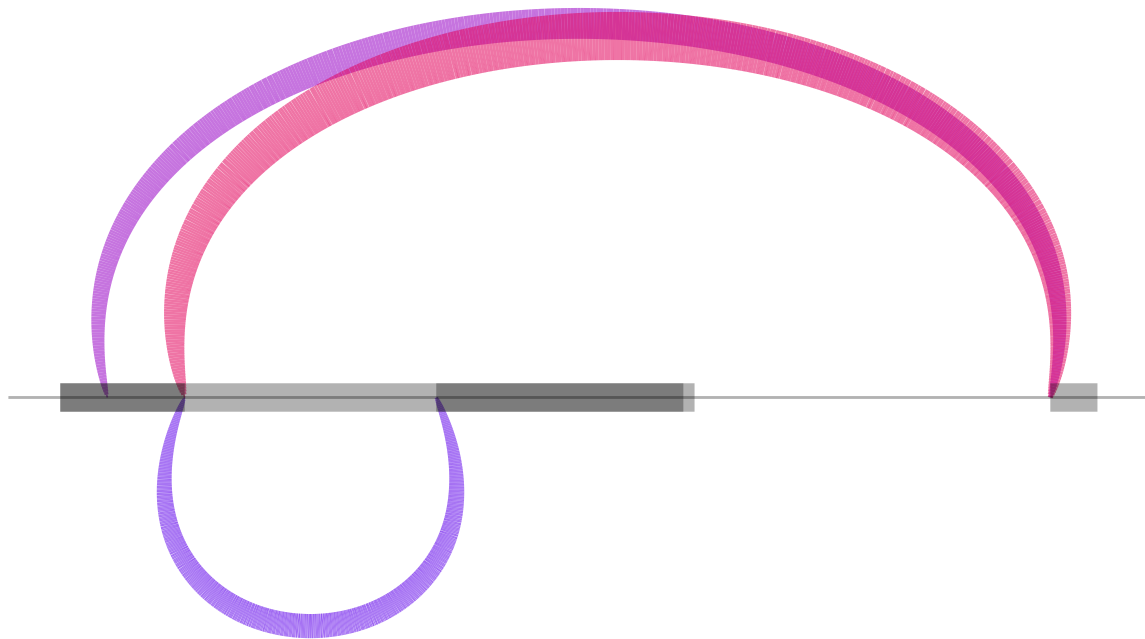


Mean count



CHDO2
t-631H13.6

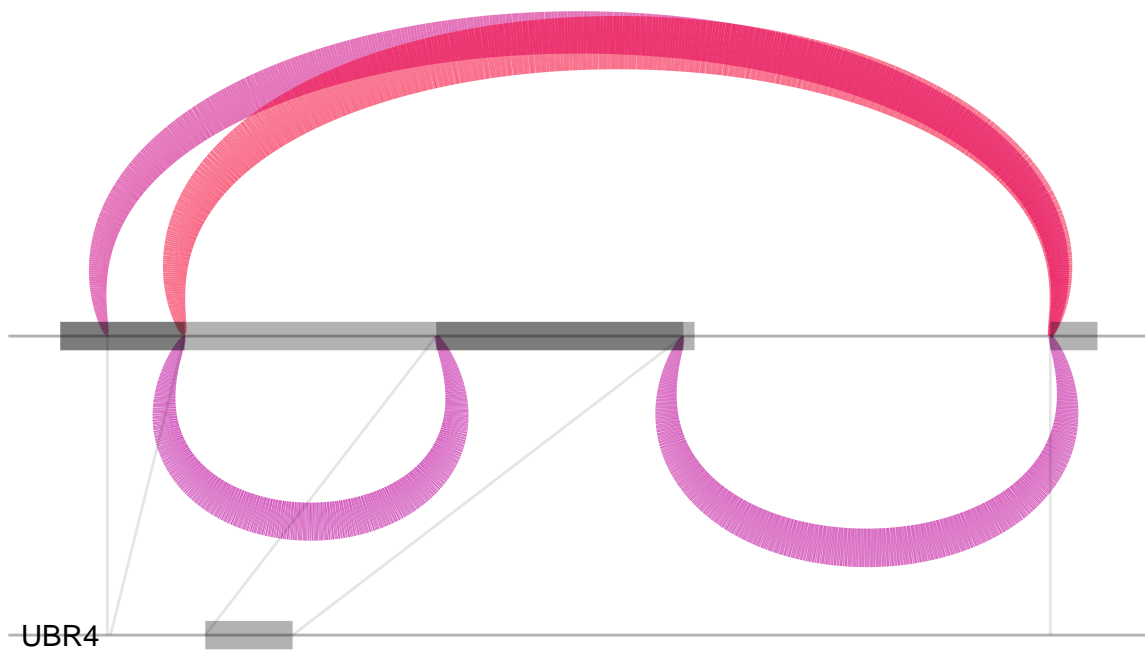
CEU (n=20)



Mean count



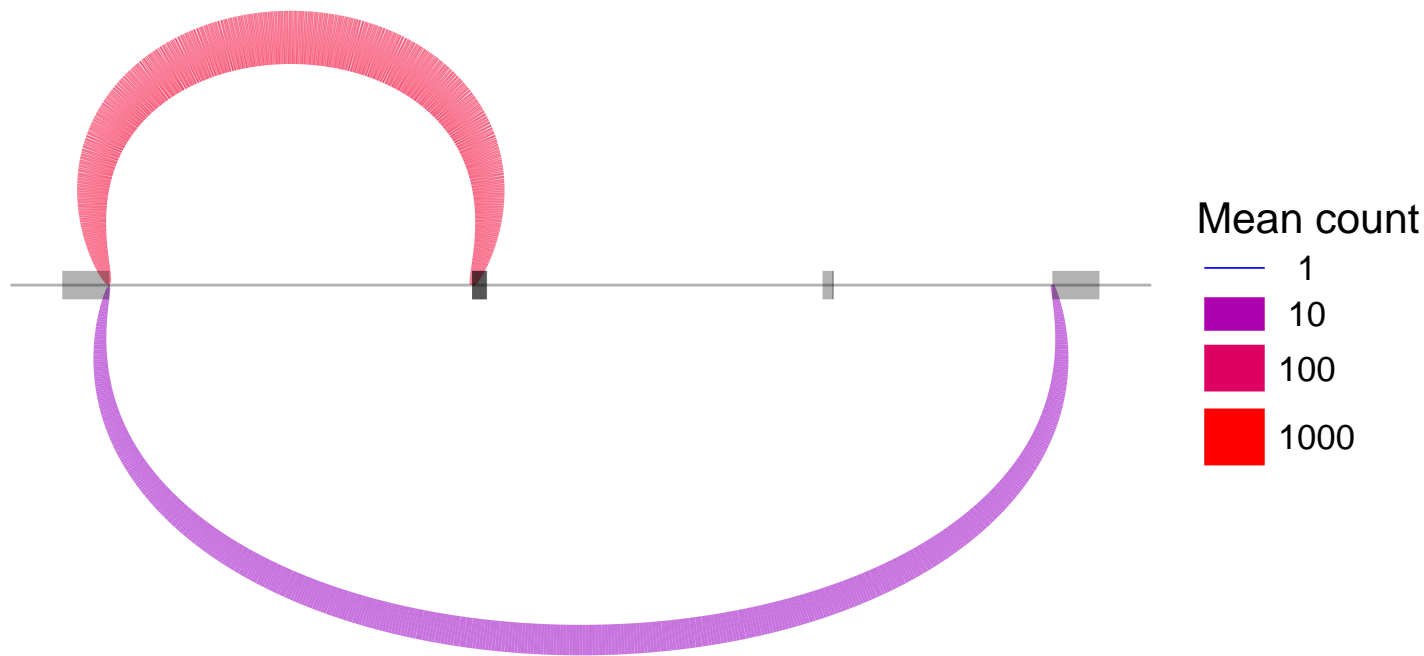
YRI (n=20)



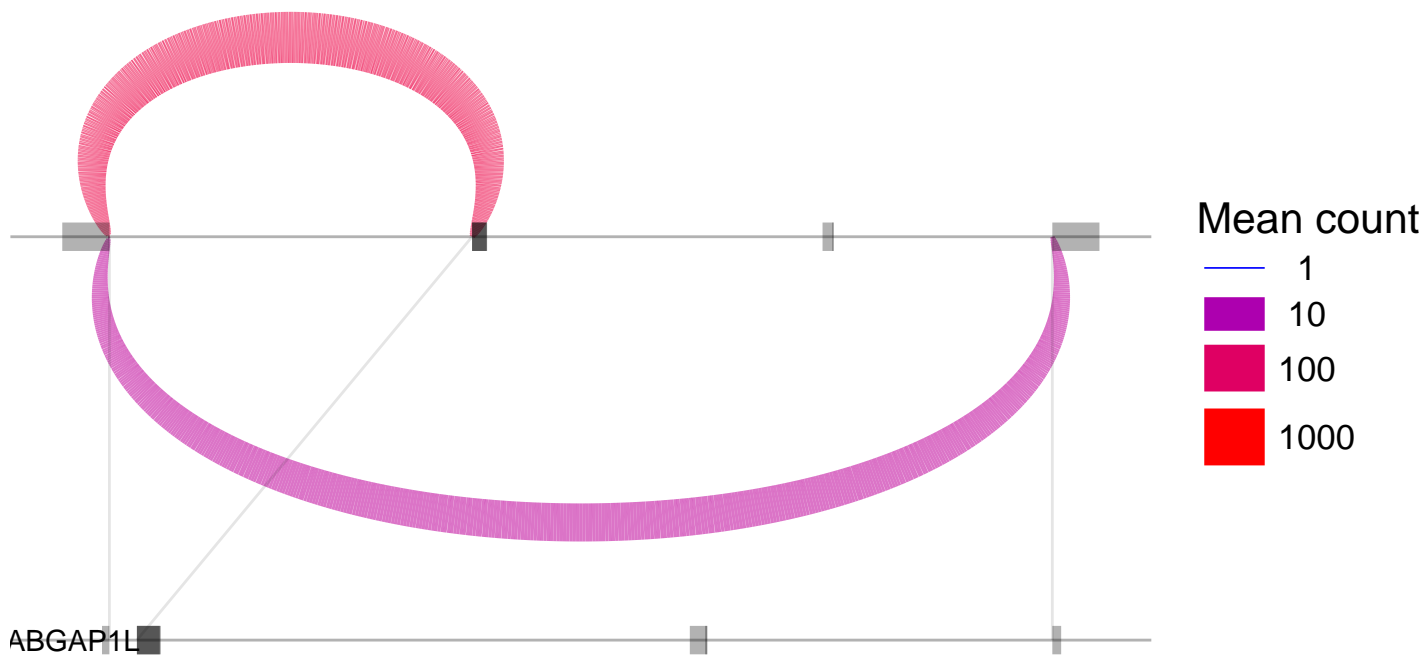
Mean count



CEU (n=20)

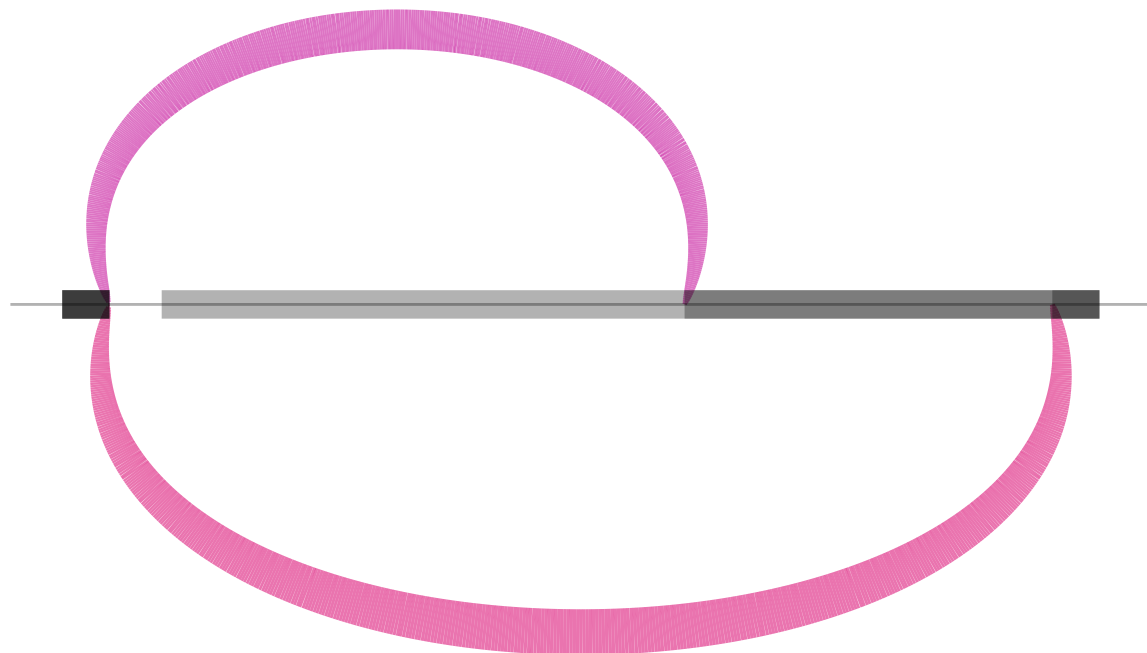


YRI (n=20)



ABGAP1L

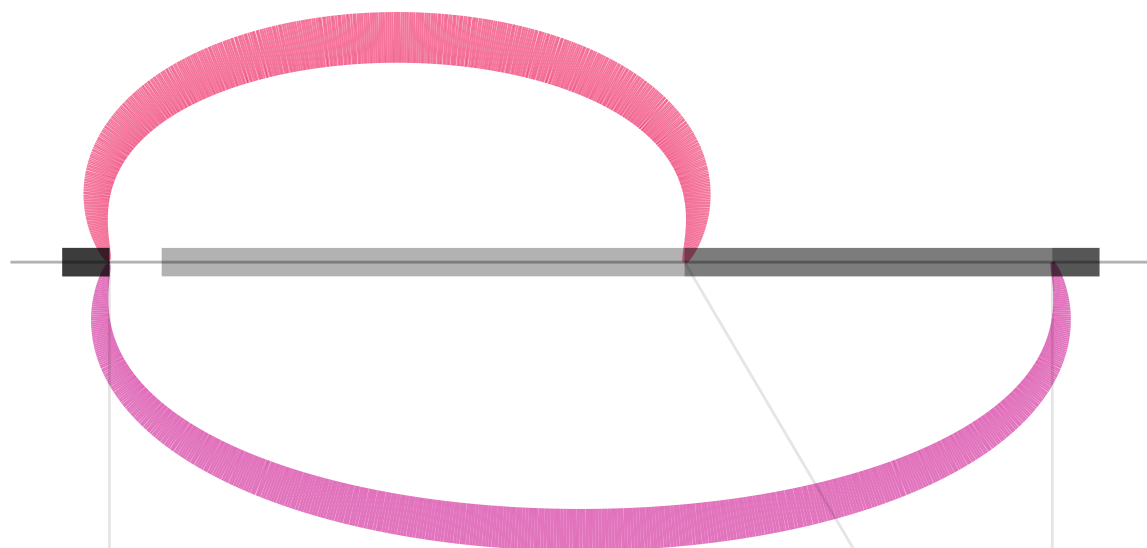
CEU (n=20)



Mean count



YRI (n=20)

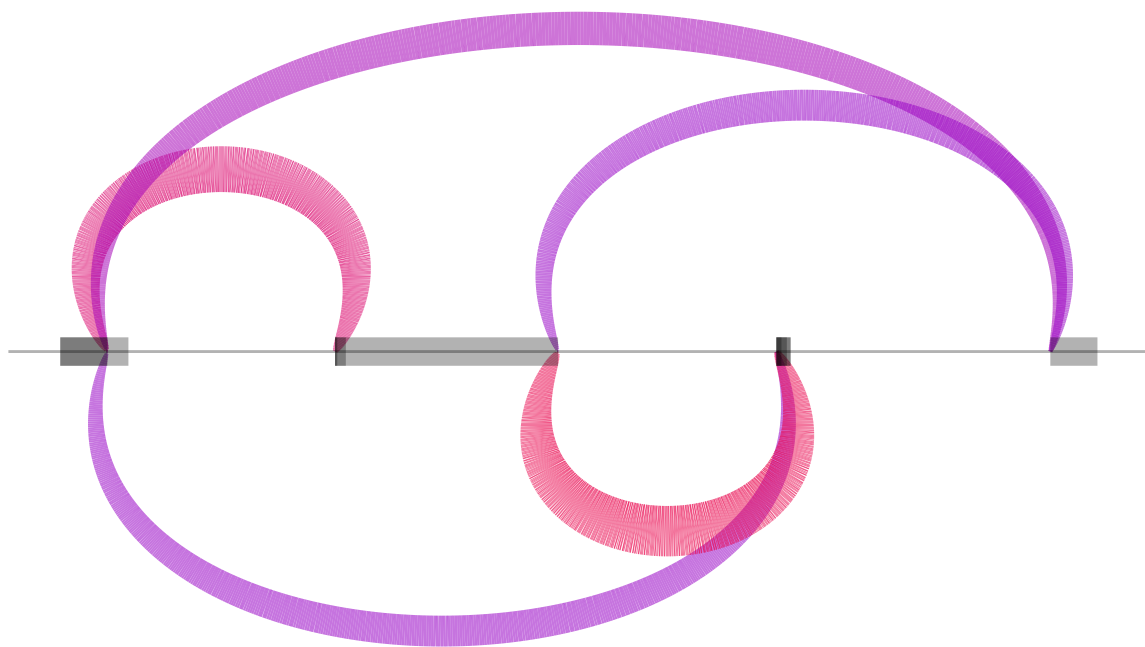


Mean count



HYI

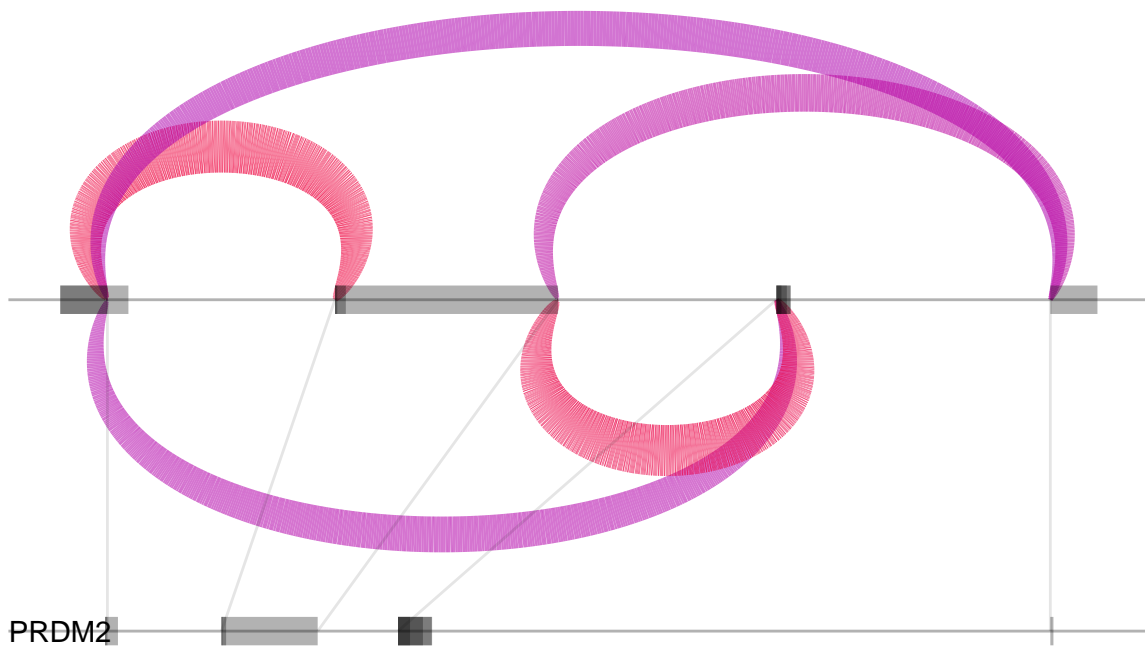
CEU (n=20)



Mean count



YRI (n=20)

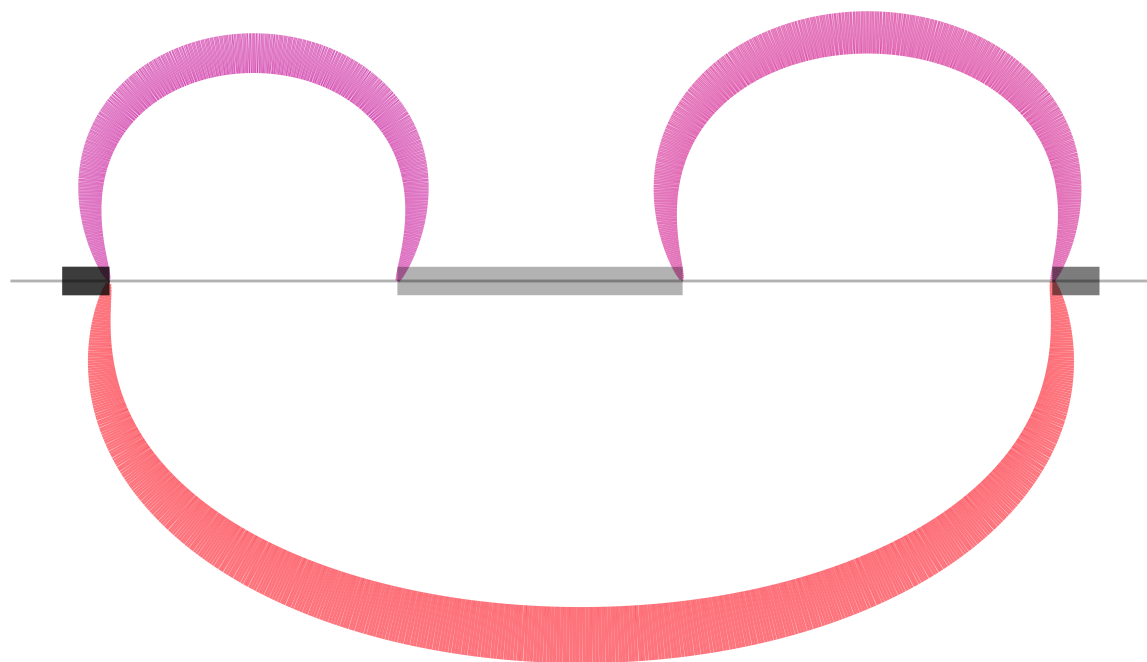


Mean count



PRDM2

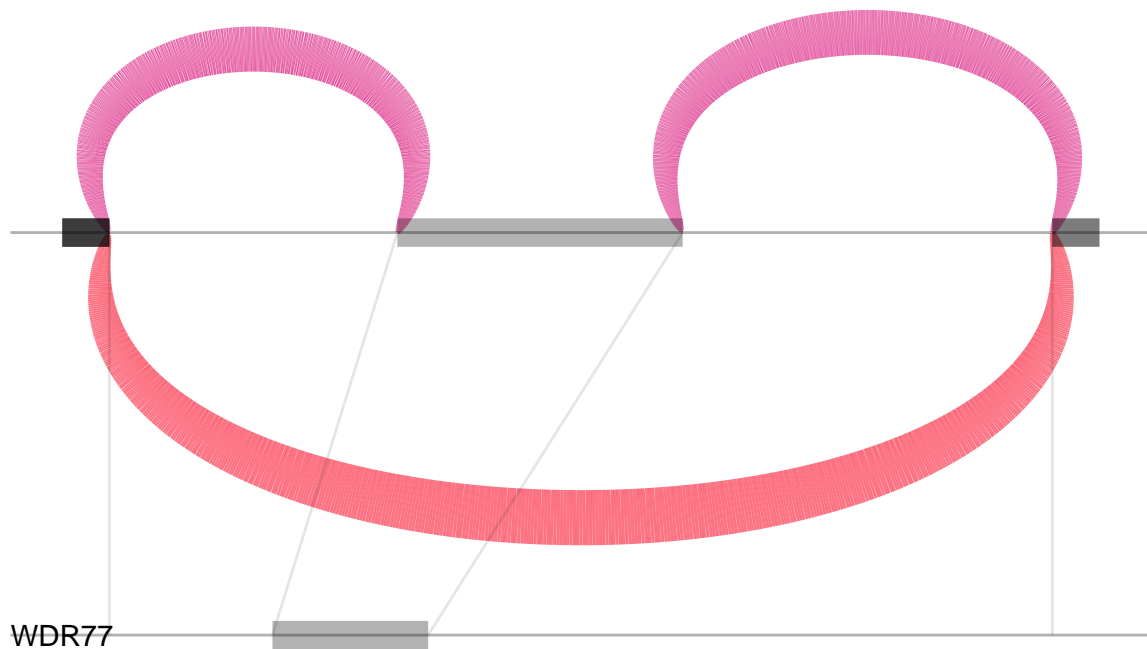
CEU (n=20)



Mean count



YRI (n=20)

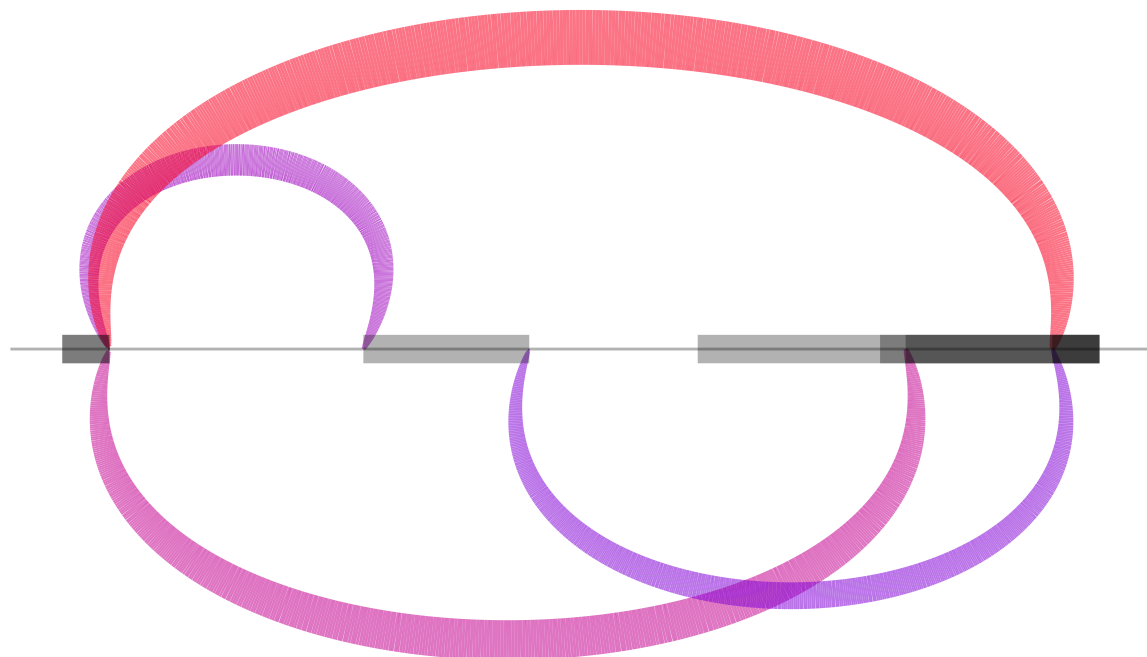


Mean count



WDR77

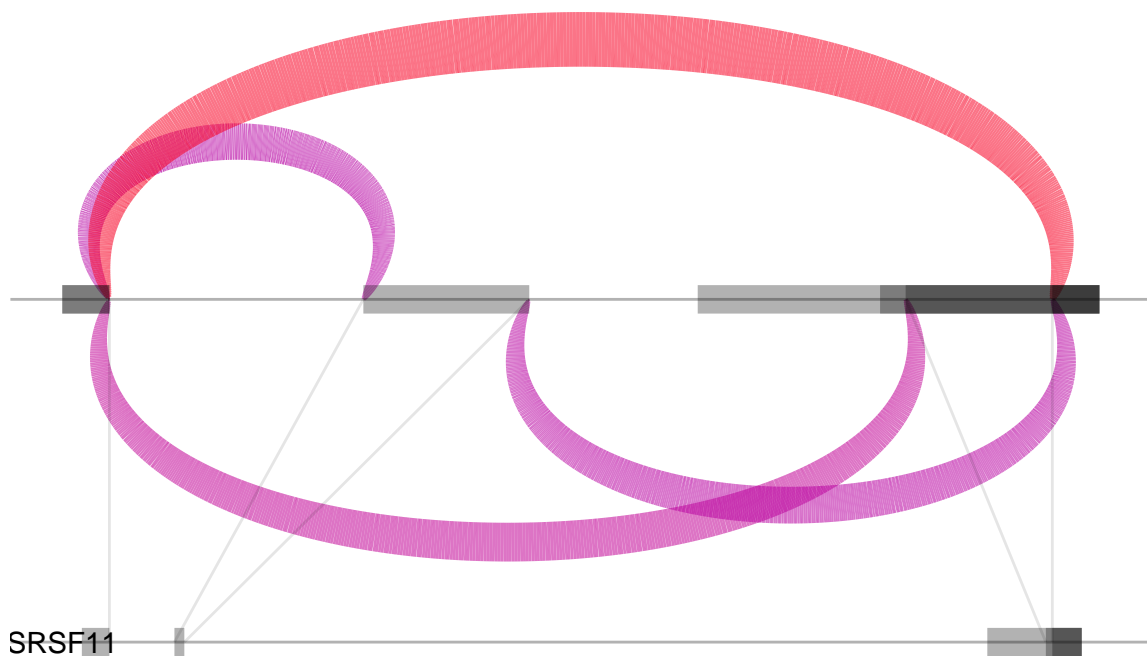
CEU (n=20)



Mean count



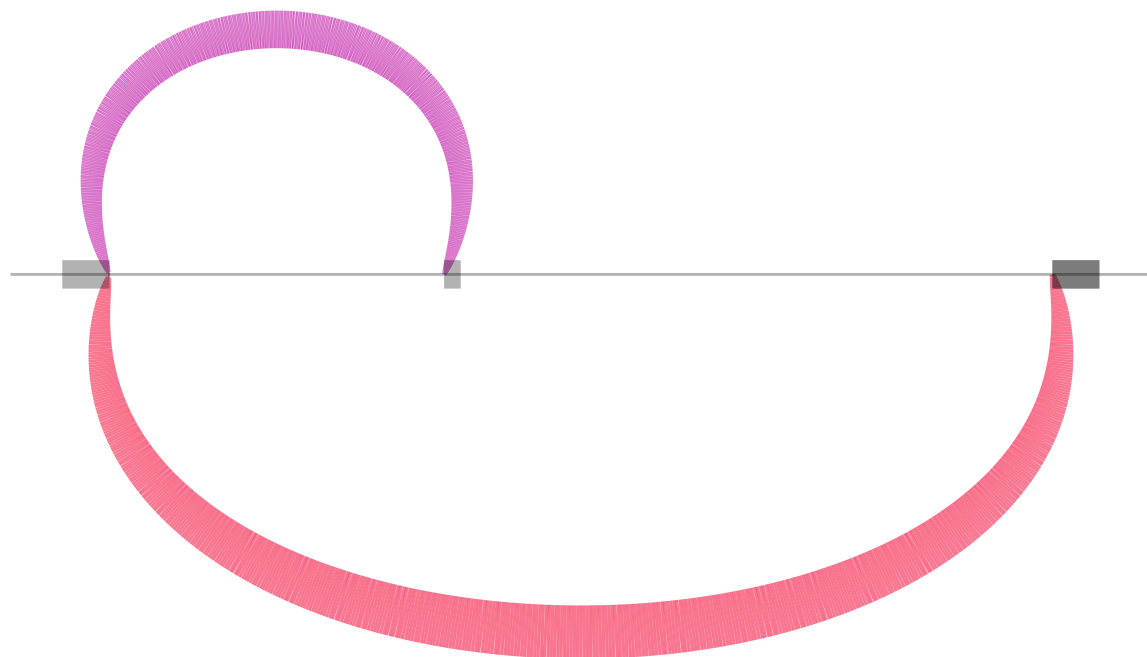
YRI (n=20)



Mean count



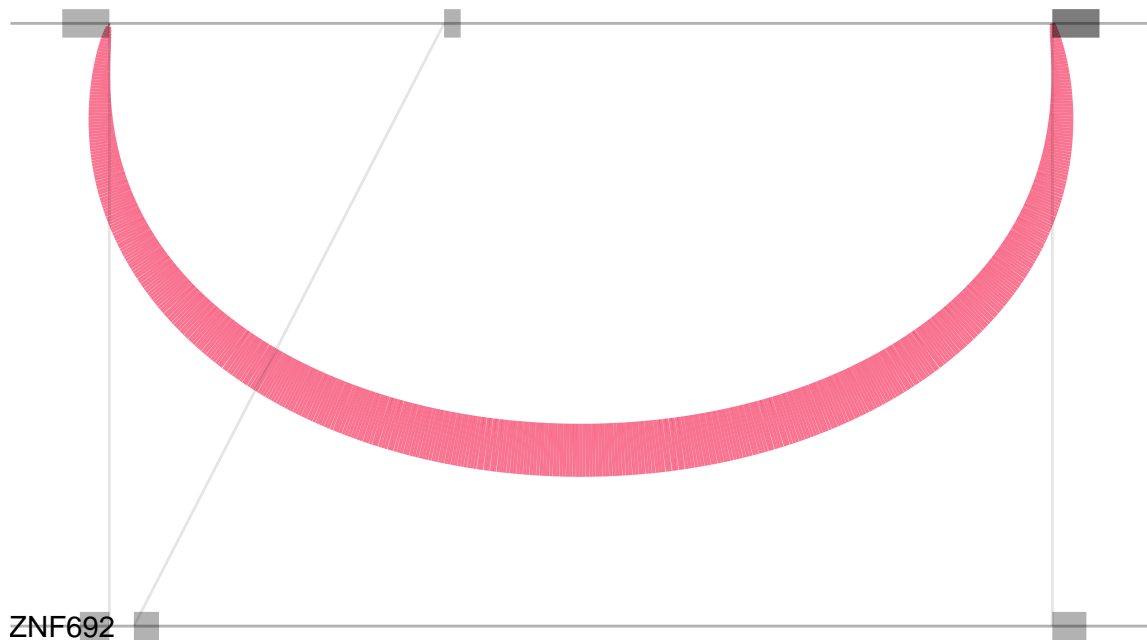
CEU (n=20)



Mean count



YRI (n=20)

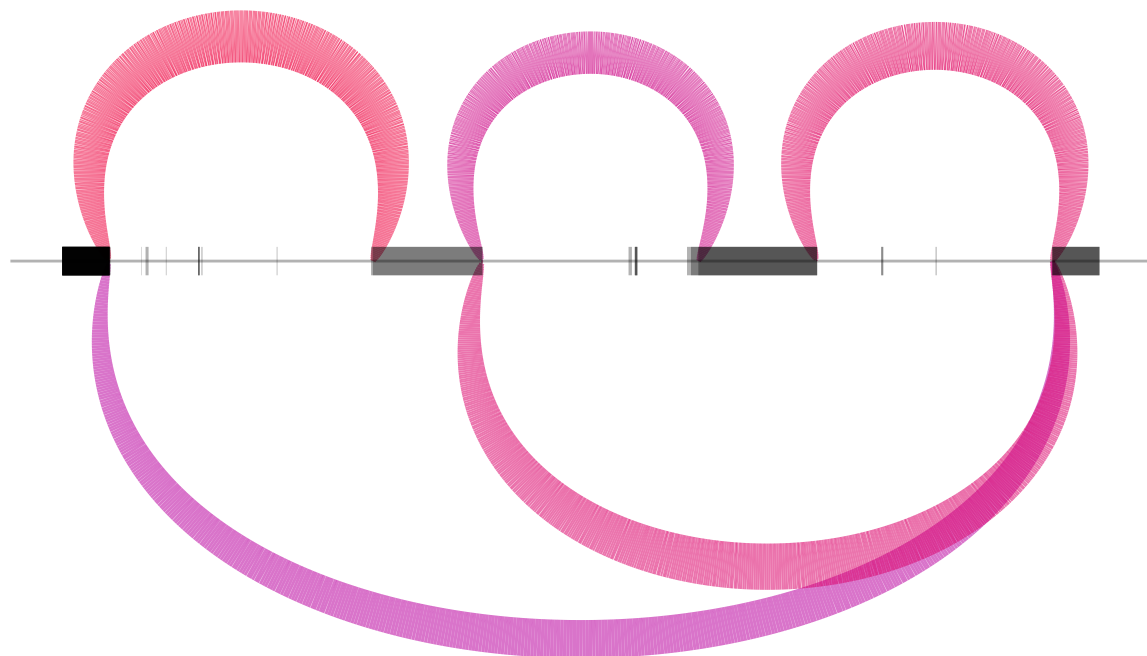


Mean count



ZNF692

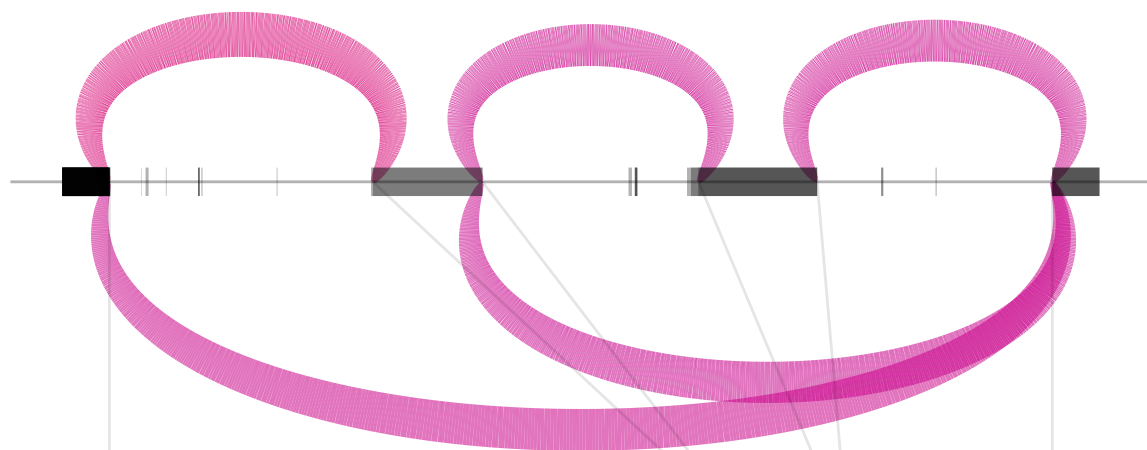
CEU (n=20)



Mean count



YRI (n=20)



Mean count

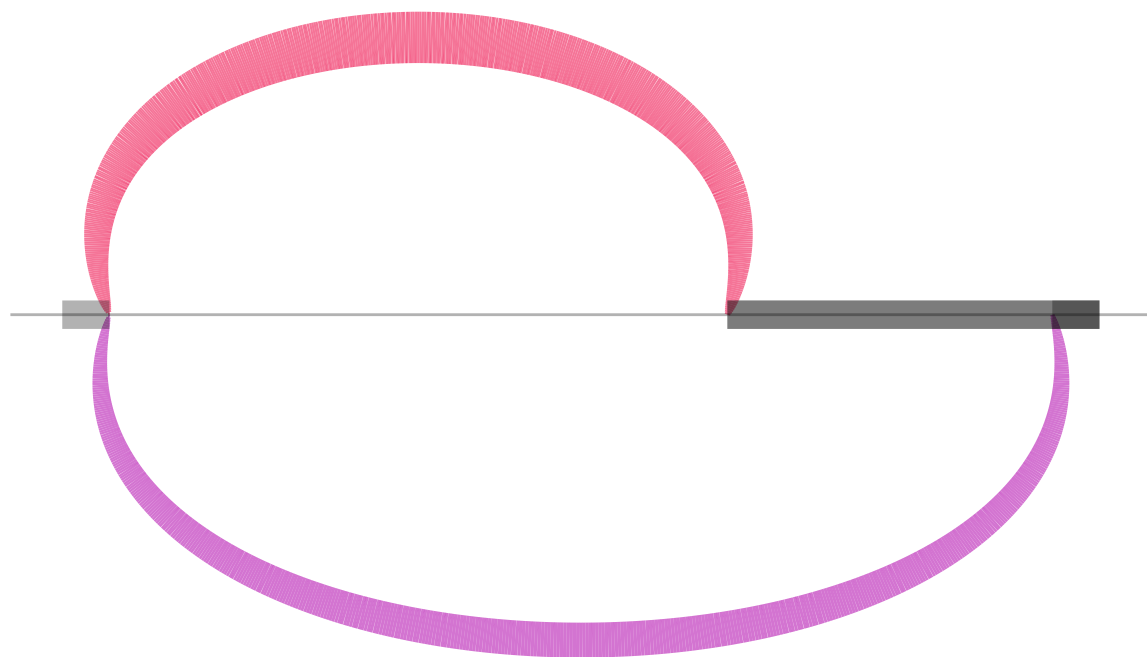


3CDC18

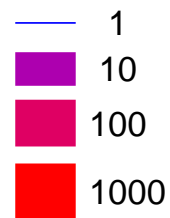
4-717123.2

4-717123.3

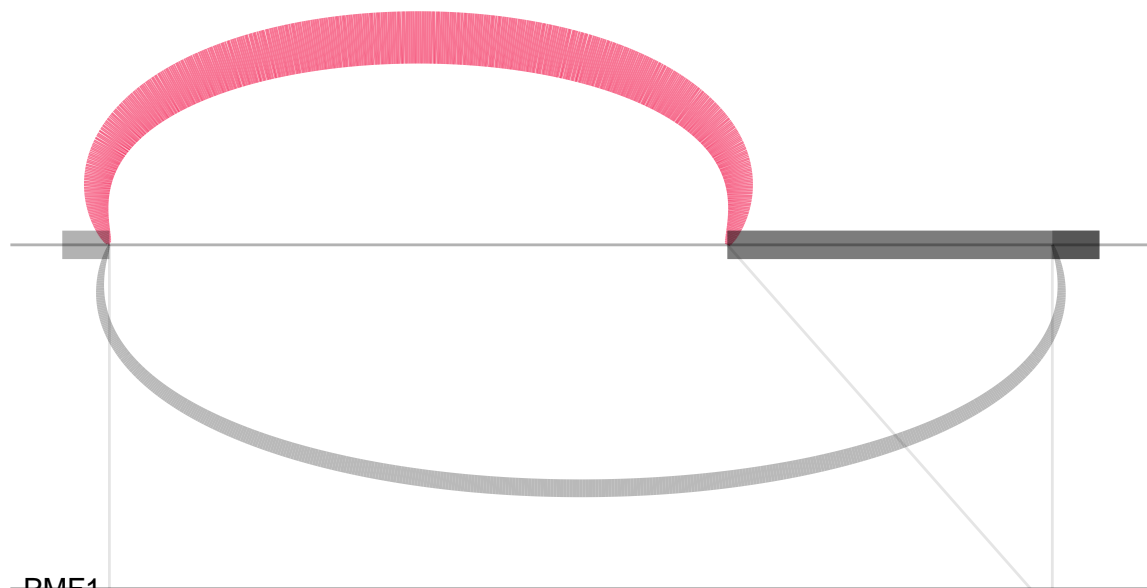
CEU (n=20)



Mean count



YRI (n=20)

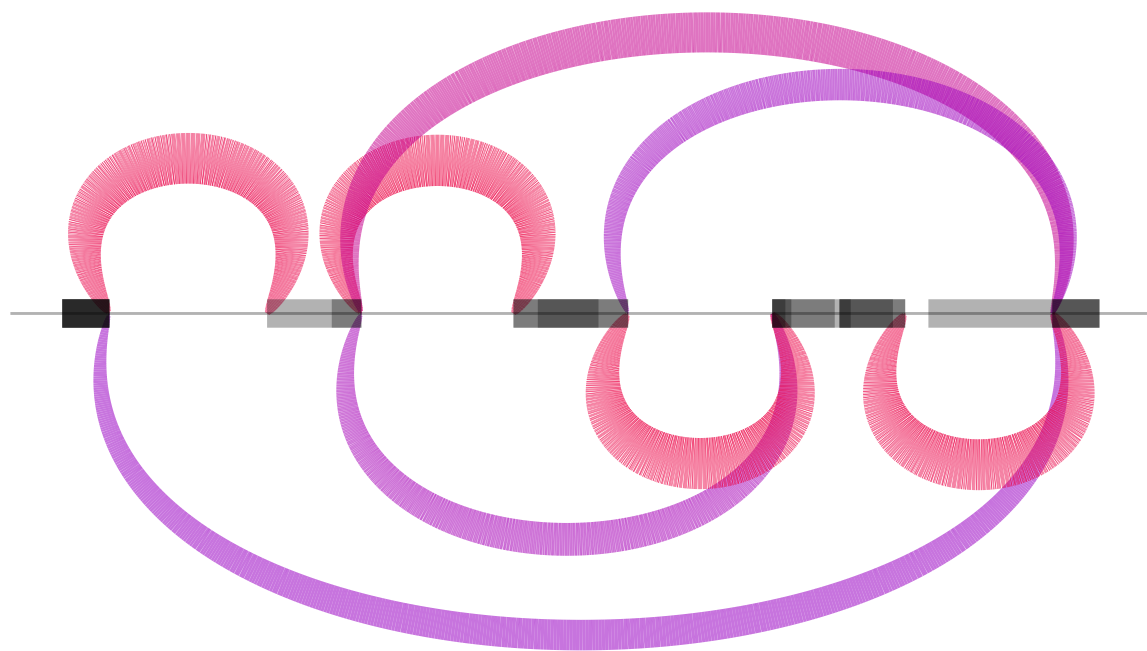


Mean count

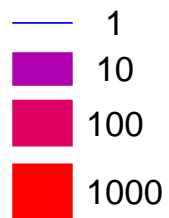


PMF1
F1-BGLAP

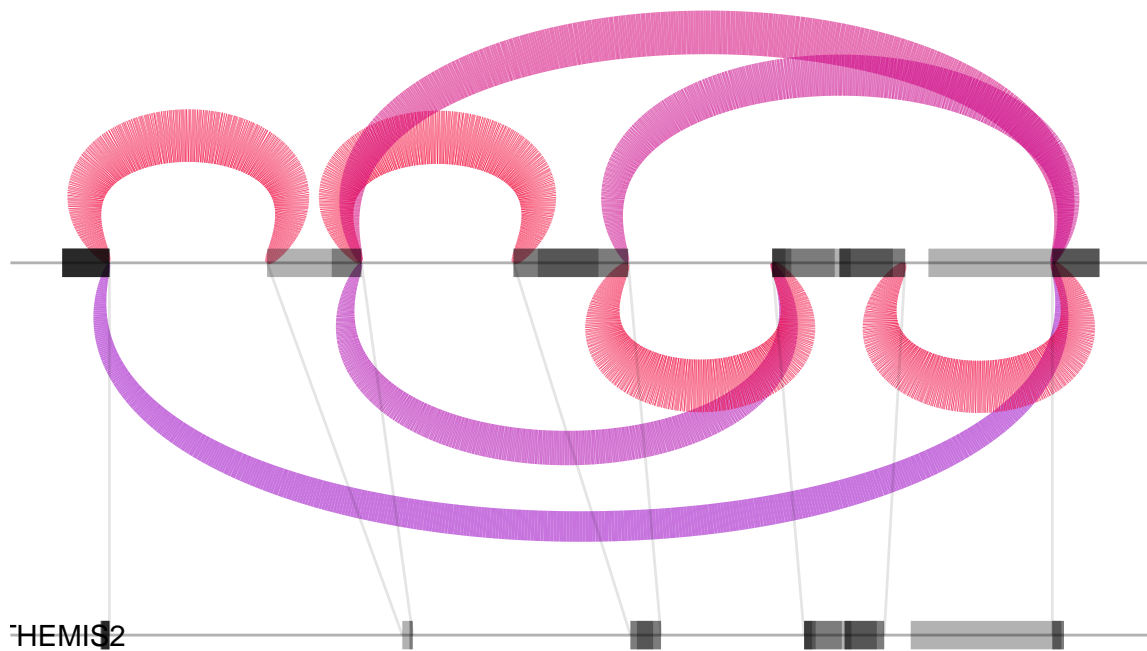
CEU (n=20)



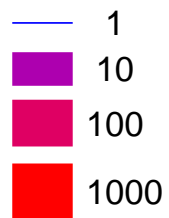
Mean count



YRI (n=20)

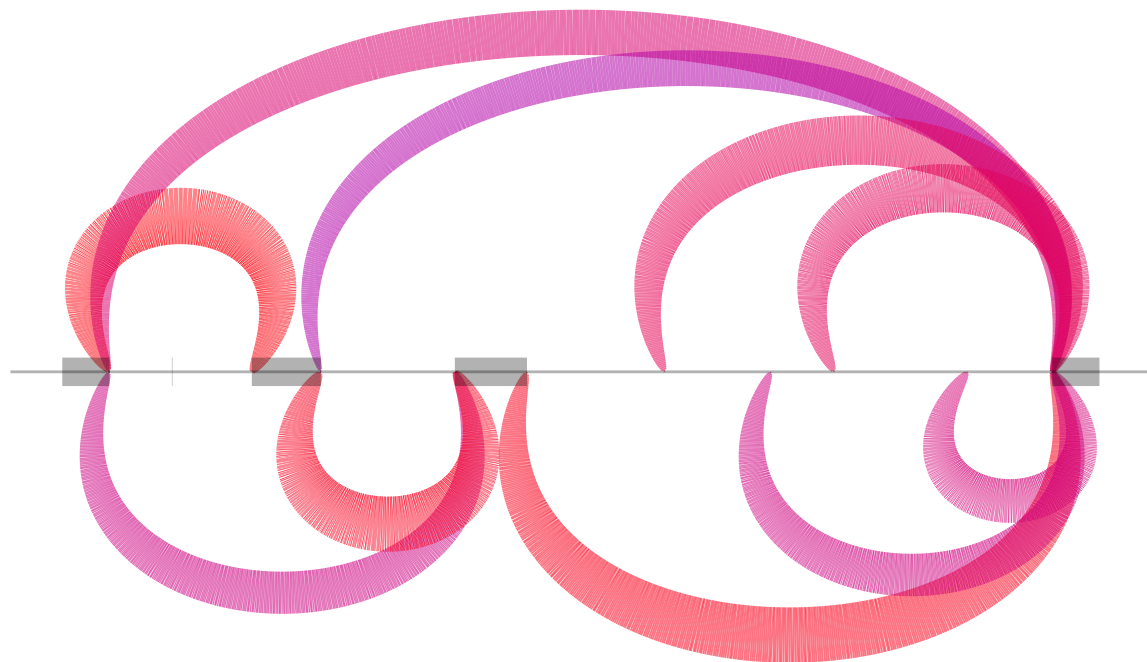


Mean count

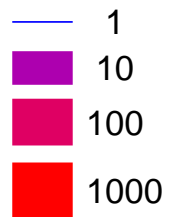


HEMIS2

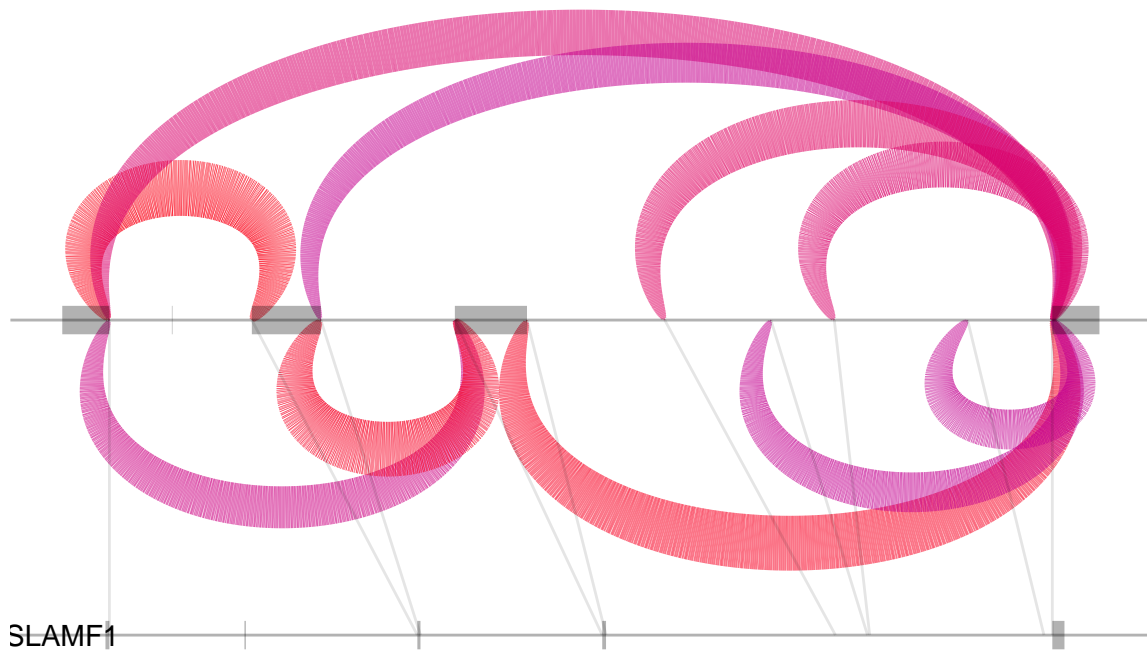
CEU (n=20)



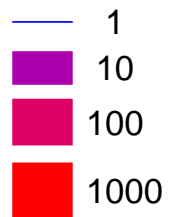
Mean count



YRI (n=20)

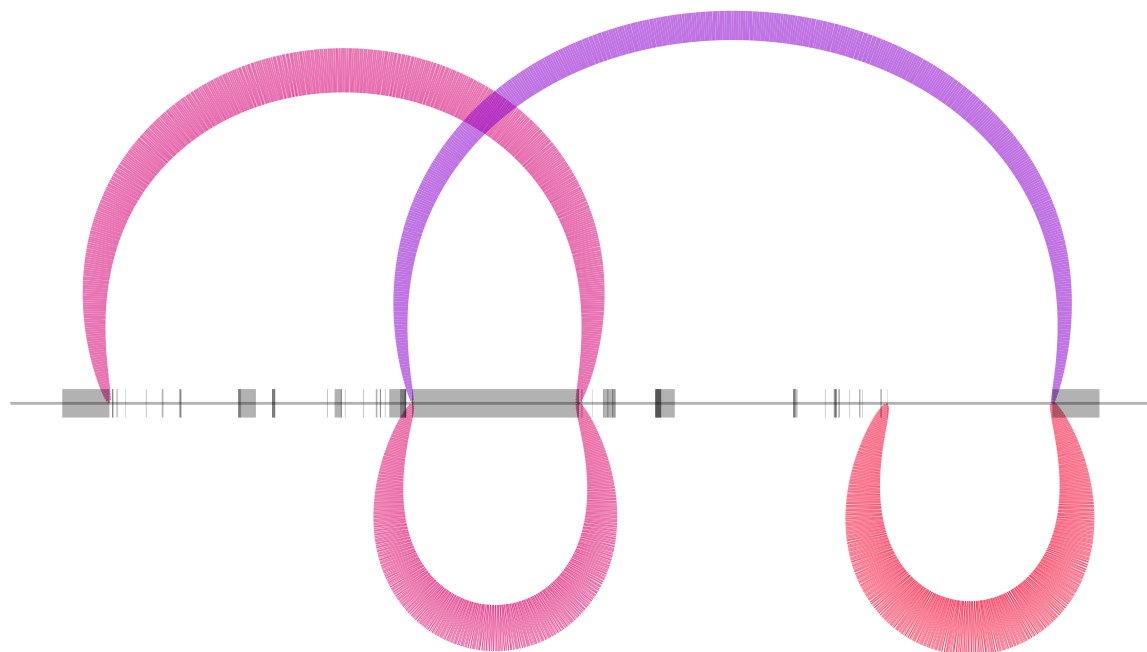


Mean count



SLAMF1

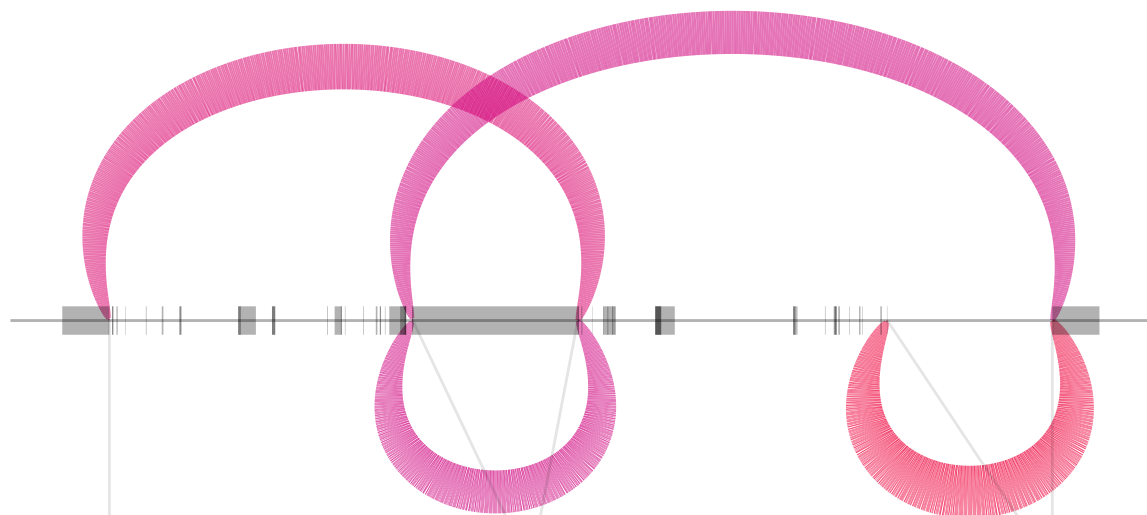
CEU (n=20)



Mean count



YRI (n=20)



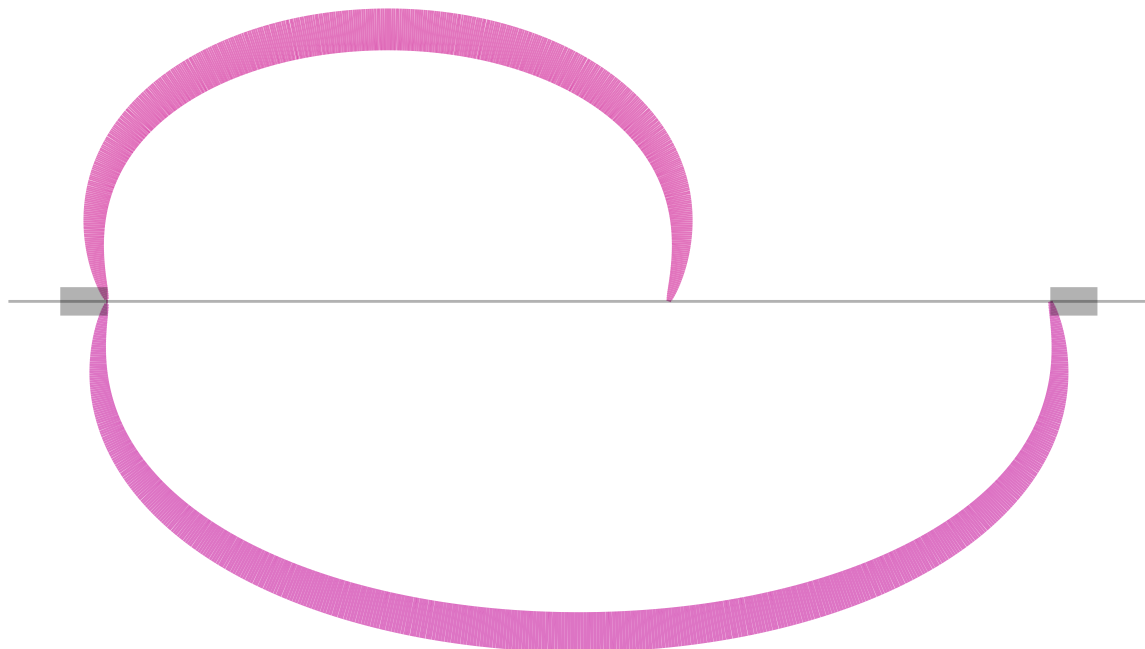
Mean count



ATAD3A
ATAD3B
ATAD3C



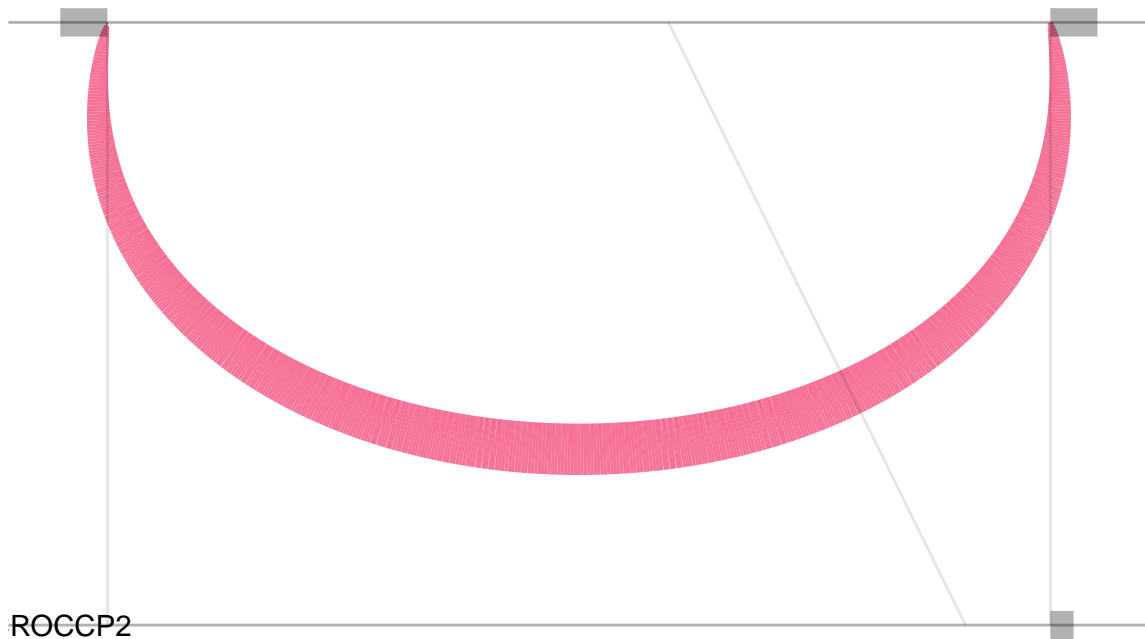
CEU (n=20)



Mean count



YRI (n=20)



Mean count



ROCCP2